

Quelques bons outils

- National Nuclear Data Center (NNDC)

<http://www.nndc.bnl.gov>

The screenshot shows the homepage of the National Nuclear Data Center (NNDC) at Brookhaven National Laboratory. The top navigation bar includes links for "Site Index" and "Go". The main content area features a large graphic of a nuclear chart of nuclides with various data links overlaid. On the left, links include NSR, XUNDL, ENSDF, NuDat, Databases, MIRD, Sigma, CSISRS, ENDF, Chart of Nuclides, Empire, Atlas of n Resonances, Nuclear Wallet Cards, Tools and Publications, Networks, CSEWG, USNDP, and CSEWG. On the right, there is a section for "ND2013 Proceedings" featuring the "Nuclear Data Sheets" journal cover, with text about the first volume (118) being available. Below this are links for "First Volume (118) for ND2013 is available!", "We moved! Click on this text for map.", "EXFOR 20,000 Milestone", and "Atomic Mass Evaluations Available". A horizontal menu bar at the bottom includes "Main", "Structure & Decay", "Reactions", "Bibliography", "Networks & Links", "Publications", and "Meetings". Below the menu, a grid of links provides detailed descriptions of various nuclear data resources.

AMDC Atomic Mass Data Center, <i>Q-value Calculator</i>	Atlas of Neutron Resonances Parameters & thermal values	CapGam Thermal Neutron Capture γ -rays	Chart of Nuclides Basic properties of atomic nuclei
Covariances of Neutron Reactions	CSEWG Cross Section Evaluation Working Group	CSISRS alias EXFOR Nuclear reaction experimental data	Empire Nuclear reaction model code system, <i>Reference paper</i>
ENDF Evaluated Nuclear (reaction) Data File, <i>Sigma</i>	ENSDF Evaluated Nuclear Structure Data File	IRDF International Reactor Dosimetry File	MIRD Medical Internal Radiation Dose
NMMSS & DoE NMIRDC Safeguards & inventory decay data standards	NSR Nuclear Science References	Nuclear Data Sheets Nuclear structure & decay data journal, <i>Special Issues</i> on reaction data	Nuclear Wallet Cards Ground & isomeric states properties, <i>Homeland Security</i> version
NucRates MACS & Astrophysical reaction rates	NuDat Nuclear structure & decay Data	USNDP U.S. Nuclear Data Program	USNDP/CSEWG GForge Collaboration Server
XUNDL Experimental Un-evaluated Nuclear Data List			

Loi de décroissance exponentielle

Time evolution & decay in quantum mechanics:

$$\psi(t) = e^{-iHt/\hbar}\psi(0)$$

survival amplitude & probability:

$$A(t) = \langle\psi(0)|e^{-iHt/\hbar}|\psi(0)\rangle$$

$$P(t) = |A(t)|^2$$

The exponential behaviour of $P(t)$ results from an approximation

There are time domains for which the exponential behaviour does not hold anymore

VOLUME 60, NUMBER 22

PHYSICAL REVIEW LETTERS

30 MAY 1988

Tests of the Exponential Decay Law at Short and Long Times

Eric B. Norman, Stuart B. Gaze, ^(a) Stephanie G. Crane, ^(b) and Dianne A. Bennett

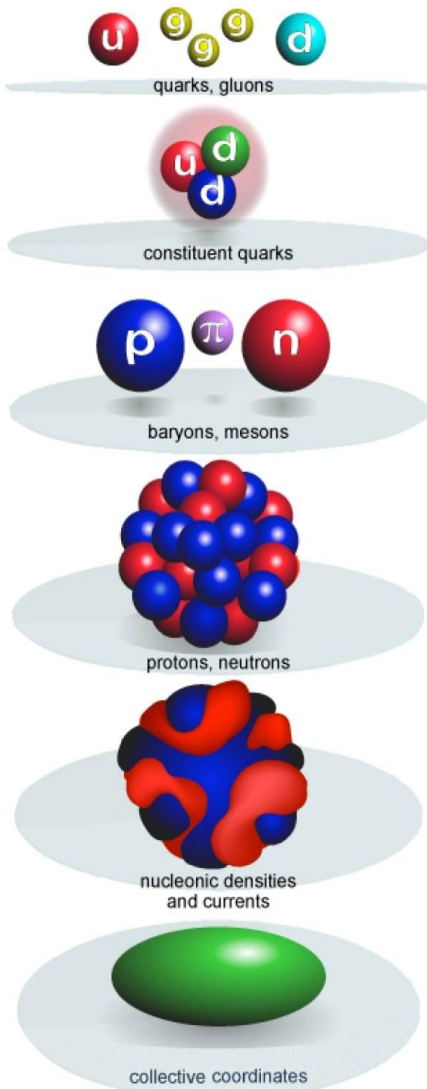
Nuclear Science Division, Lawrence Berkeley Laboratory, University of California, Berkeley, California 94720

(Received 29 December 1987)

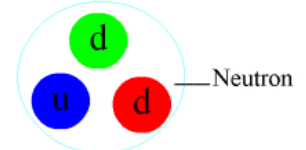
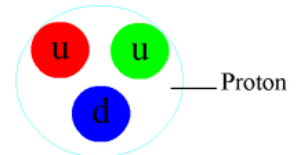
We have studied the β decays of ^{60}Co at times $\lesssim 10^{-4}t_{1/2}$ and those of ^{56}Mn over the interval $0.3t_{1/2} \leq t \leq 45t_{1/2}$ to search for proposed deviations from the exponential decay law at short and long times, respectively. Over all time periods examined, our data are consistent with purely exponential behavior. From these measurements, stringent limits are derived on the amplitudes of possible deviations from the exponential decay law.

Un système complexe

Degrés de liberté

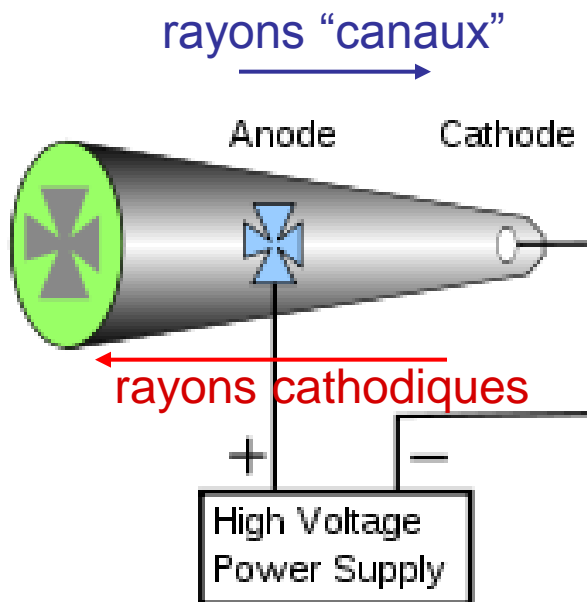


Physique des Hadrons



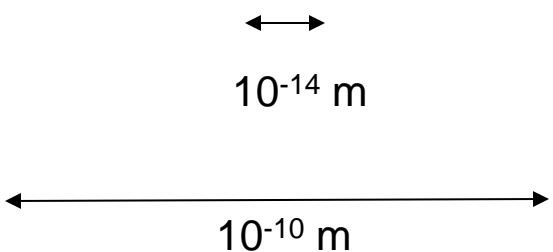
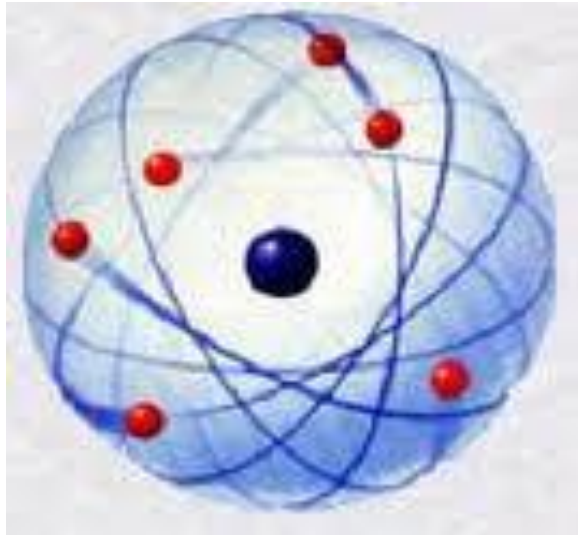
Physique des Noyaux

Ce qui se passe dans le tube de Crooks....

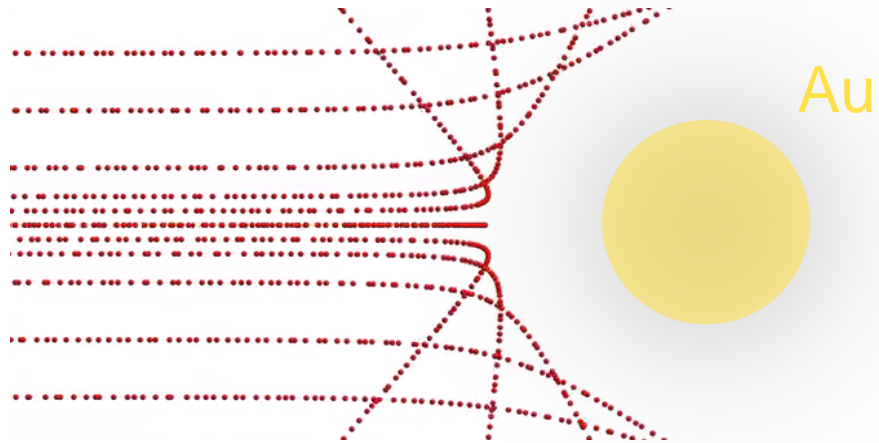


Part 2 - Echelles Nucléaires

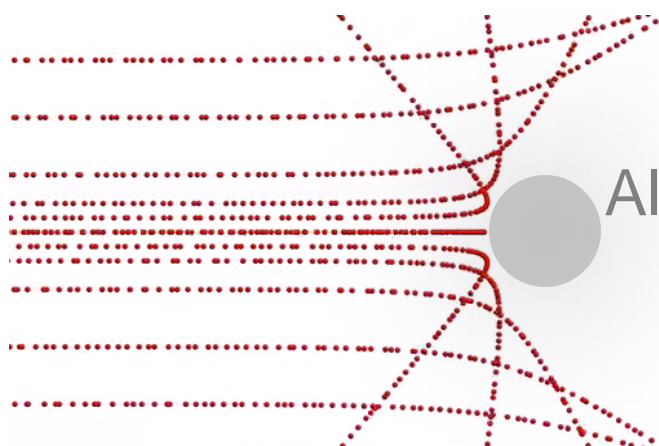
Conséquences du modèle de Rutherford



La matière est vide !

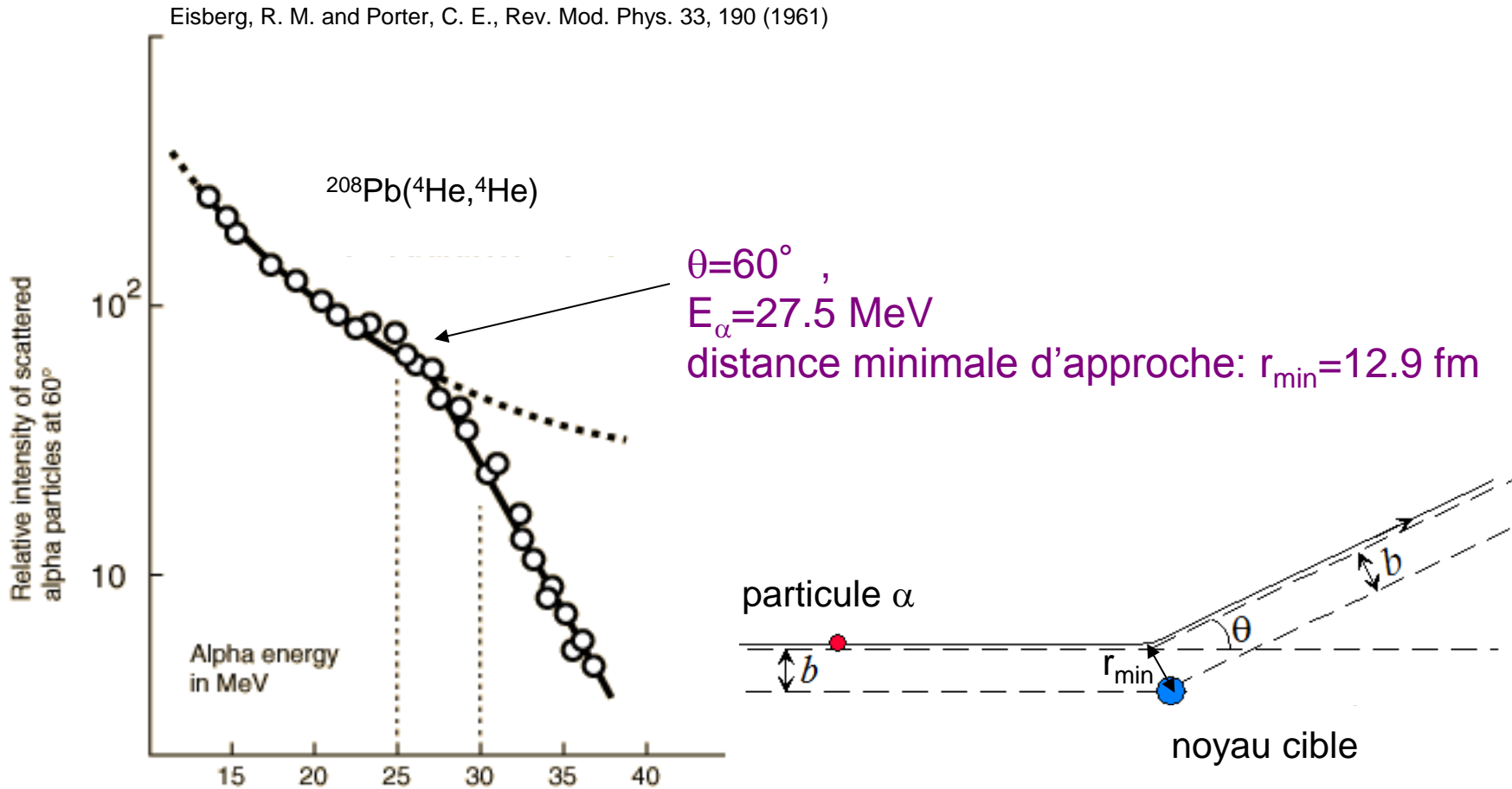


$E_\alpha(\text{source}) < 7.7 \text{ MeV}$

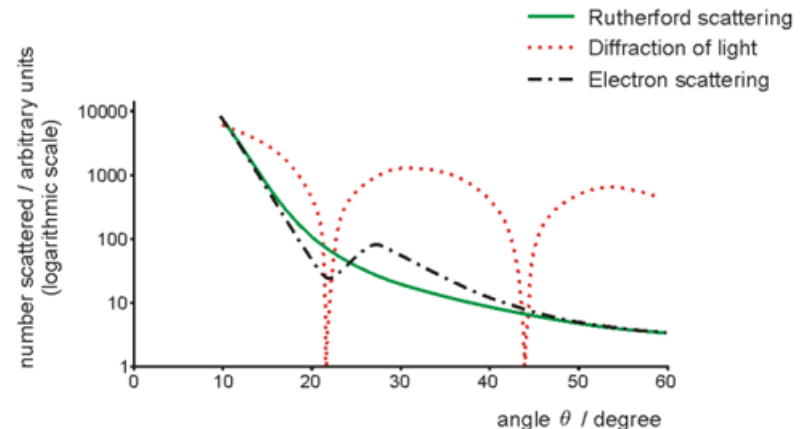
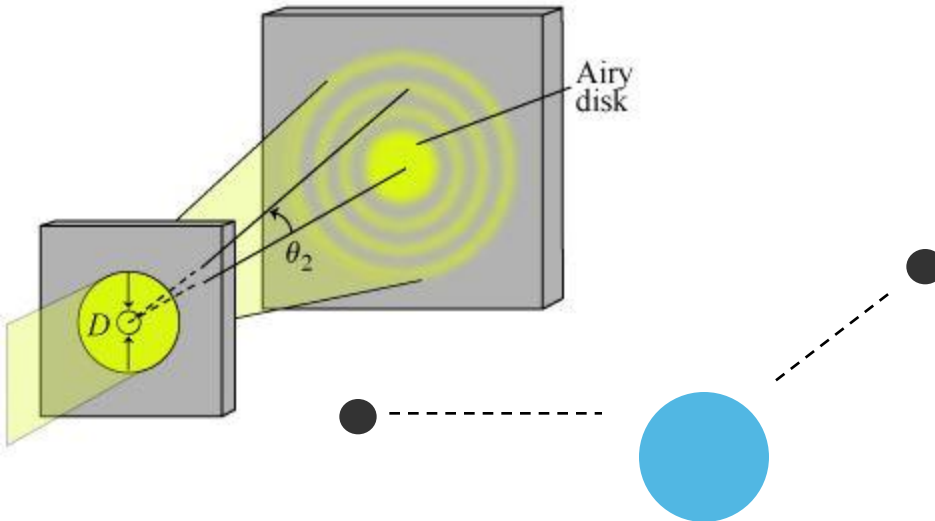


Au plus près du noyau

A plus haute énergie, les particules α peuvent s'approcher au plus près du noyau et ressentir les effets du noyau



Expériences de diffusion avec e-



Cas de l' ^{16}O à 360 MeV:

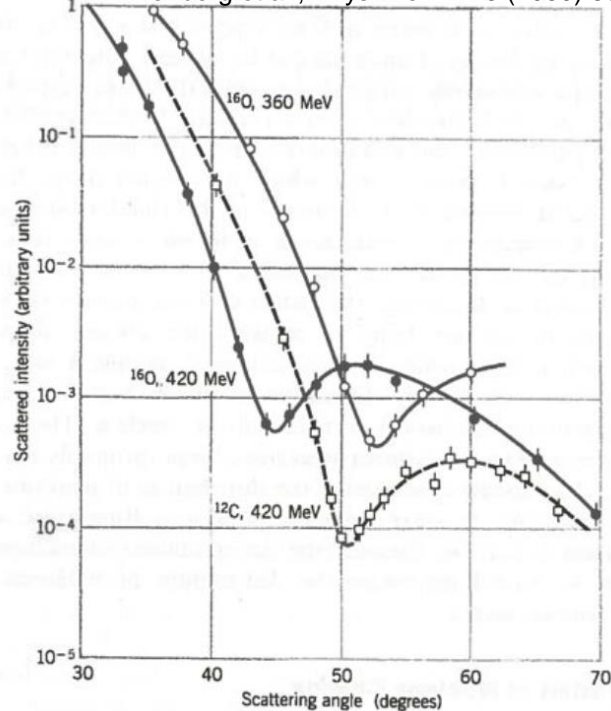
$$\text{1er minimum à } \theta = 52^\circ = \sin^{-1}(1.22 \lambda/D)$$

$$E_e = 360 \text{ MeV} = 5.76 \cdot 10^{-11} \text{ J}$$

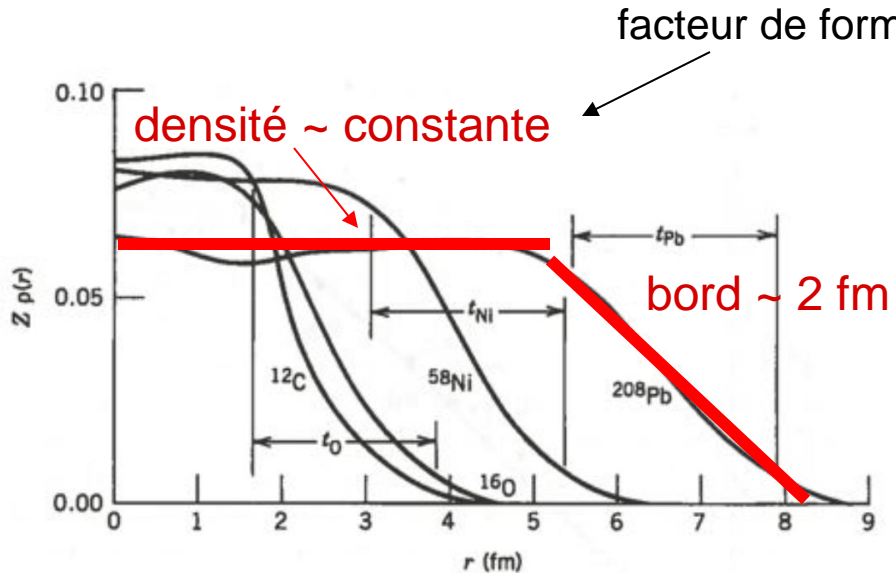
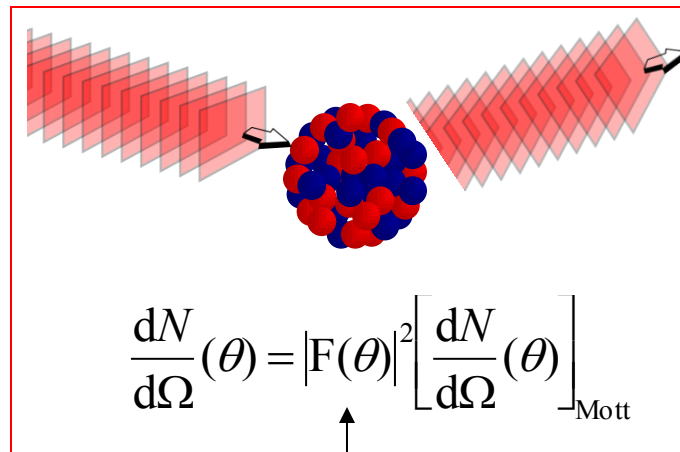
$$p = E/c = 1.92 \cdot 10^{-20} \text{ kg m/s}$$

$$\lambda = h/p = 3.43 \cdot 10^{-15} \text{ m} \Rightarrow R = D/2 = 2.6 \text{ fm}$$

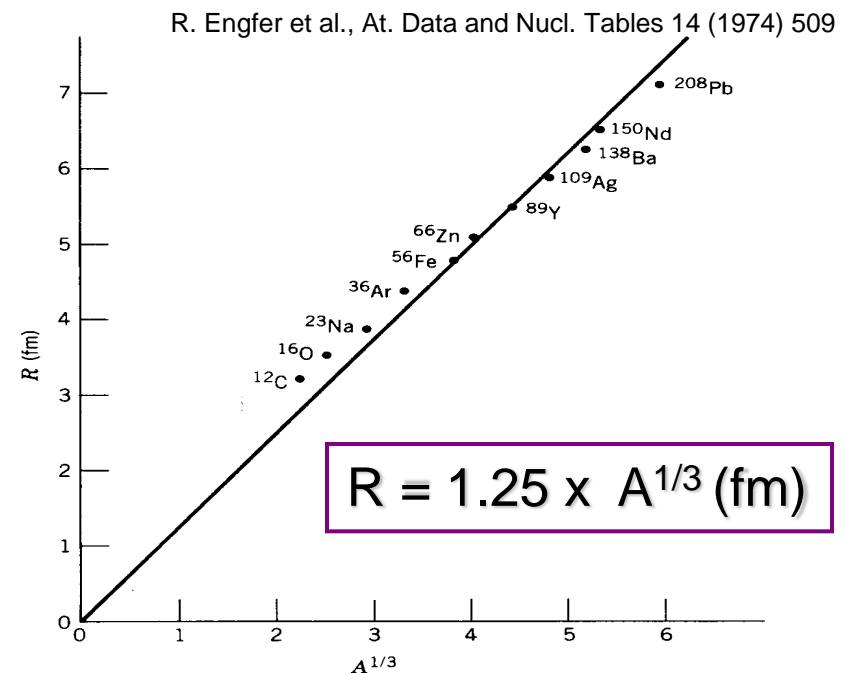
H.F. Ehrenberg et al., Phys. Rev. 113 (1959) 666



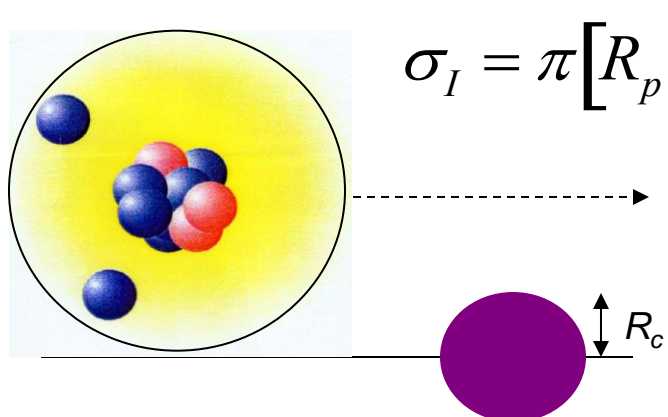
Distribution de charge



K. S. Krane, Introductory Nuclear Physics, John Wiley & Sons

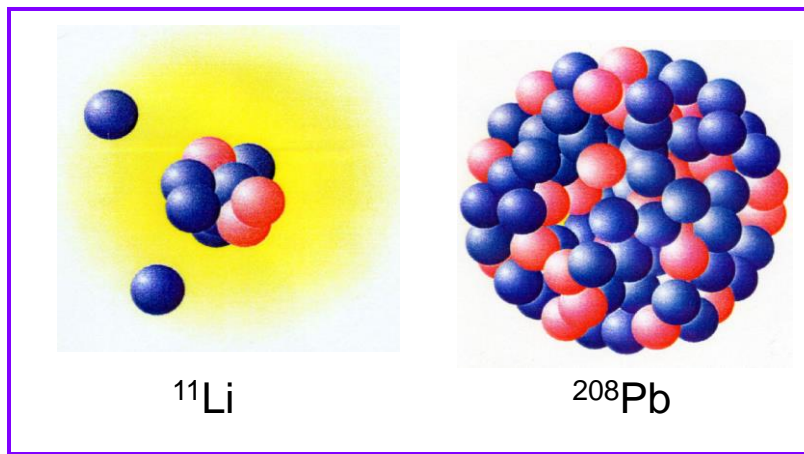


Section efficace d'interaction

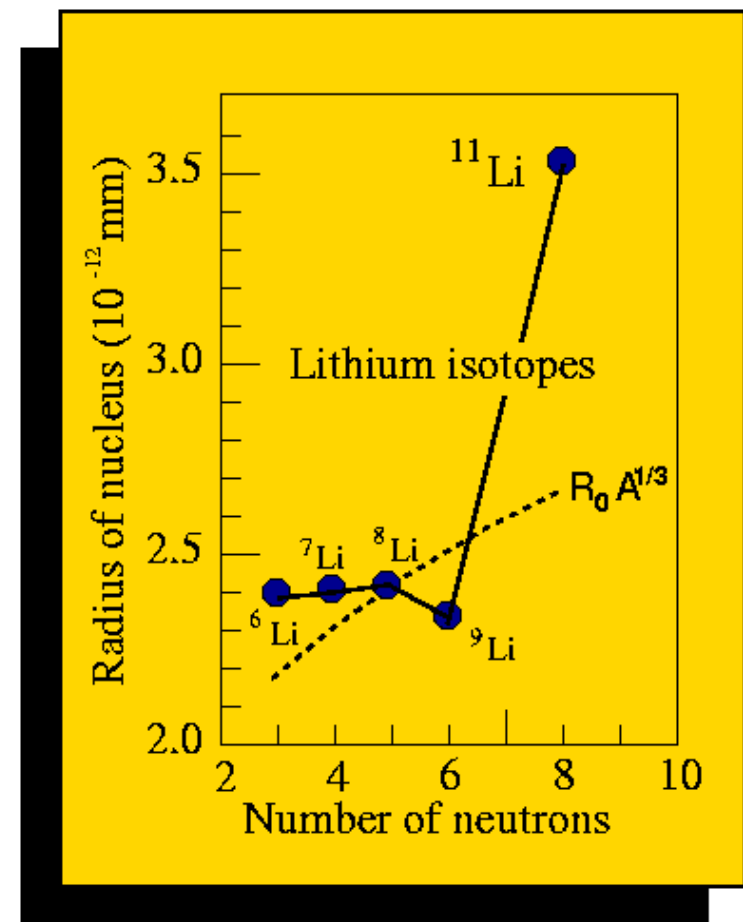


$$\sigma_I = \pi [R_p + R_c]^2$$

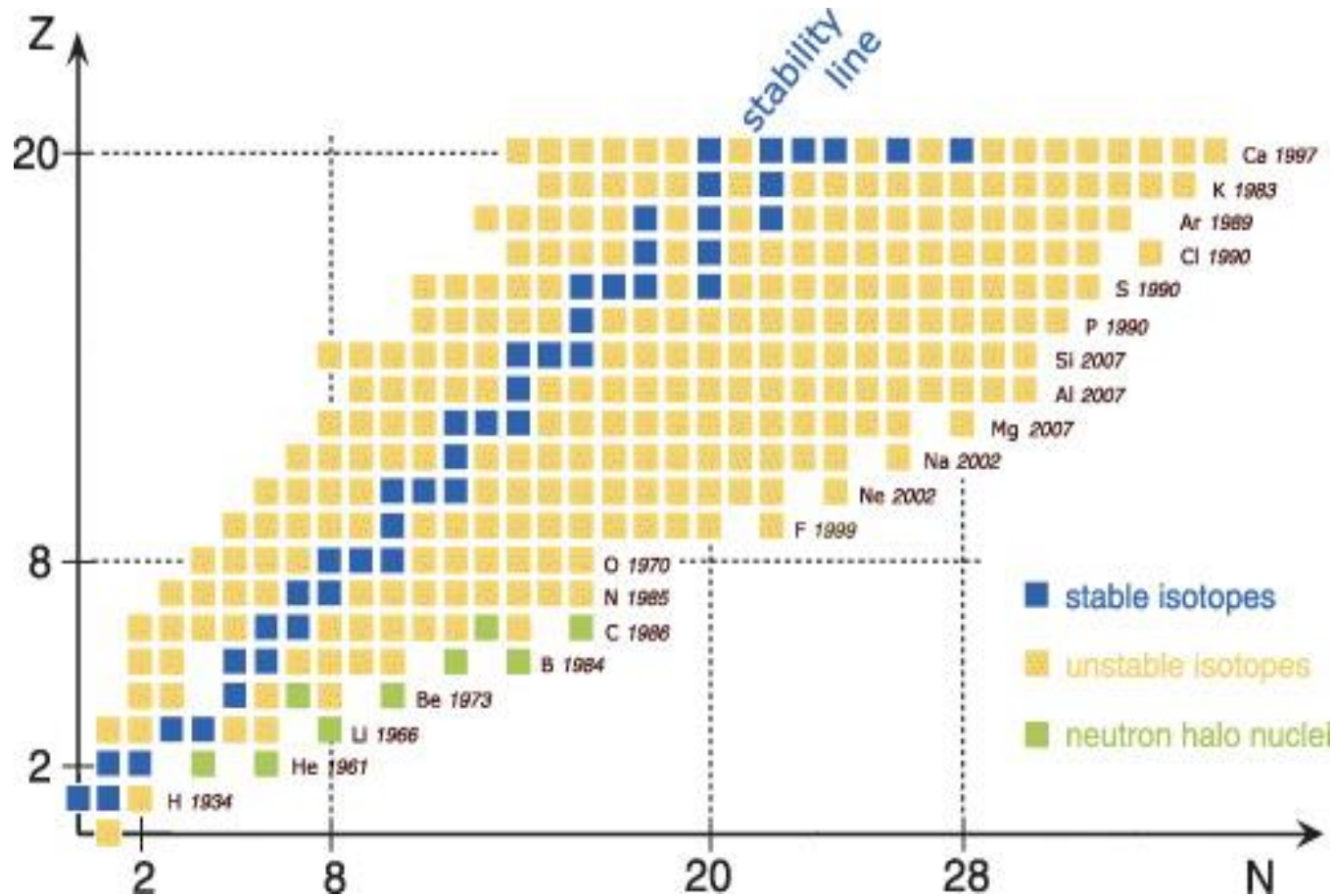
Cibles de Be, C, Al



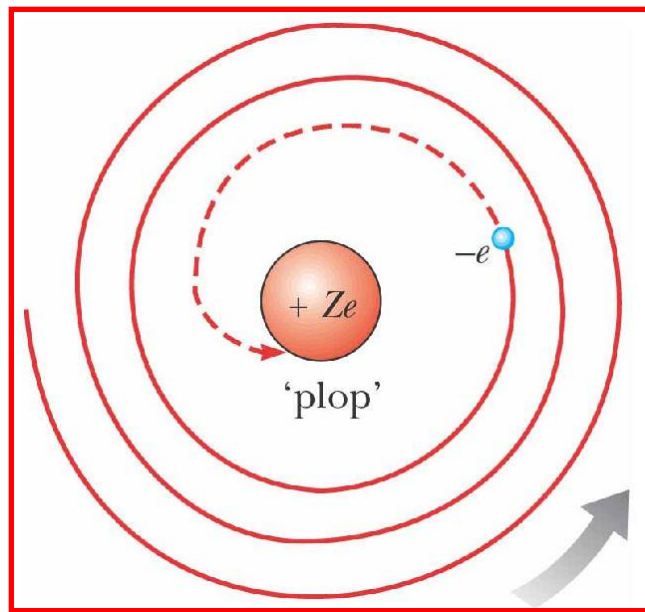
I. Tanihata et al., PRL 55 (1985) 2676



Noyaux Halos



Conséquences du modèle de Rutherford



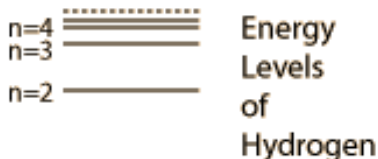
l'atome est instable !

Bohr résout le problème avec les quantas de Planck

- le moment cinétique des électrons est quantifié \Leftrightarrow seules certaines orbites (**couches**) d'énergie E_n ($n=1,2,3,\dots$) sont autorisées
- n est le nombre quantique principal
- le saut électronique d'un niveau à un autre s'accompagne de l'émission (ou l'absorption) d'un photon de longueur d'onde particulière

Philosophical Magazine 26, 1-25 (1913)

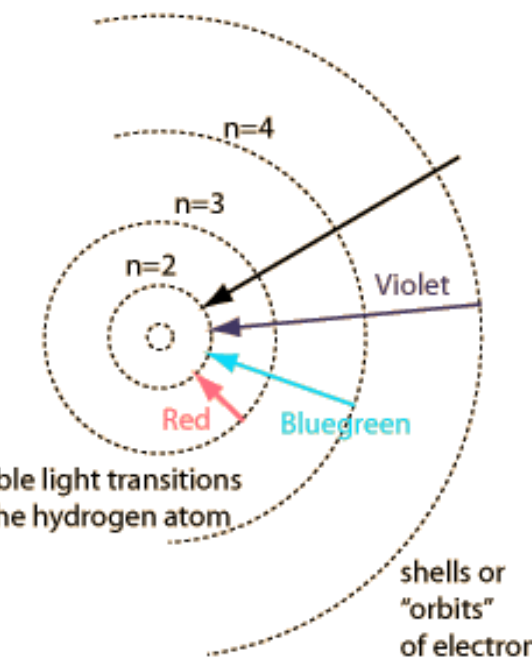
$$E_n \propto -Q^2/n^2$$



$n=1$

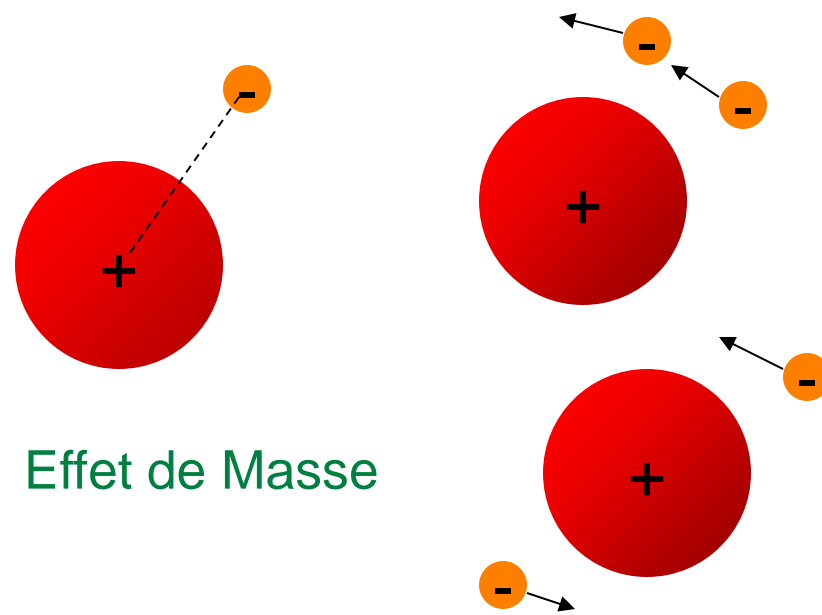


Visible light transitions
of the hydrogen atom

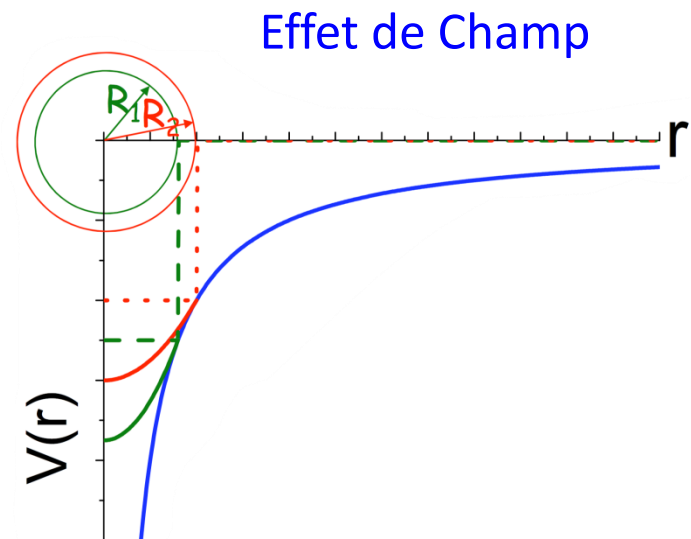


Niels Bohr

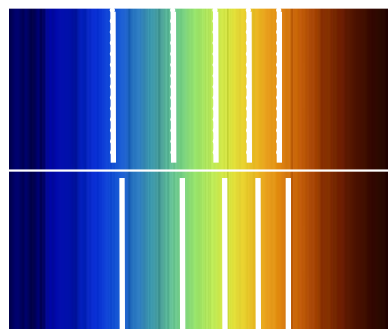
Déplacements isotopiques



Effet de Masse

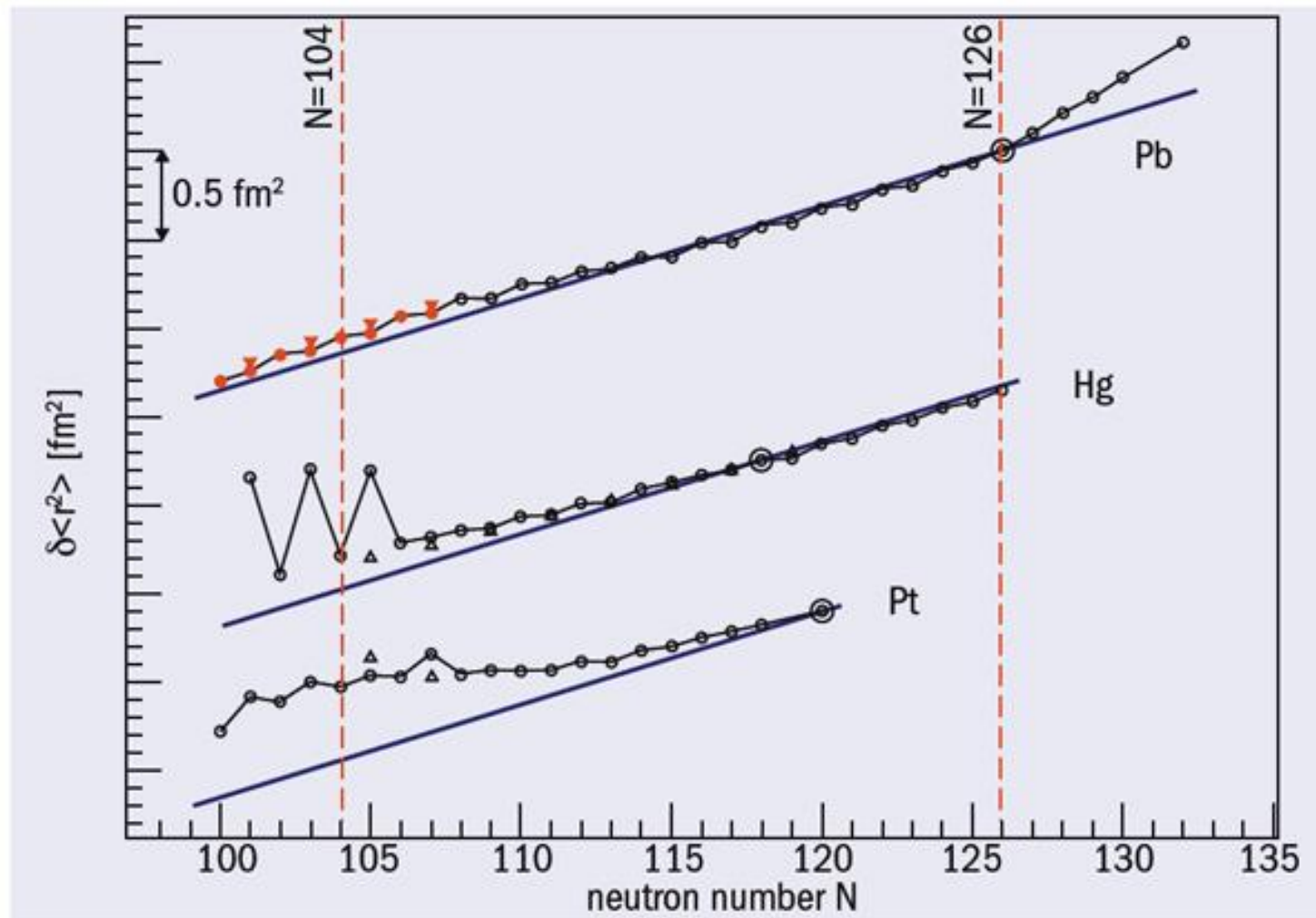


Isotope A



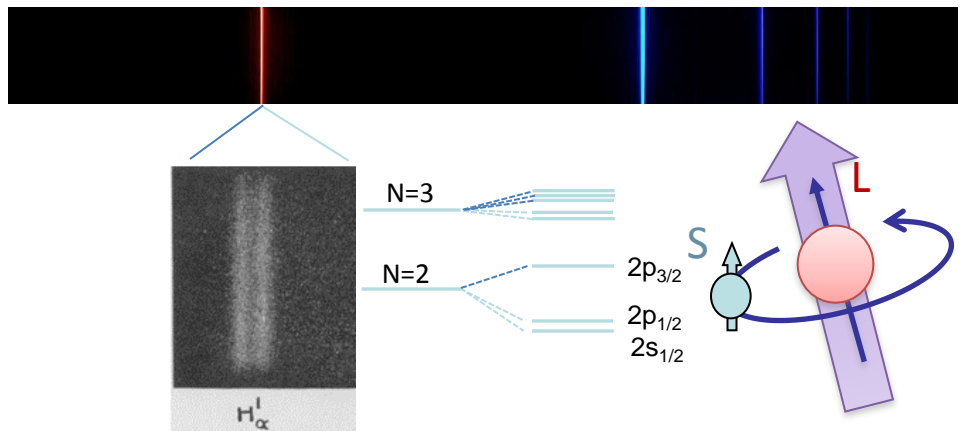
Isotope A'

Variations du rayon carré moyen

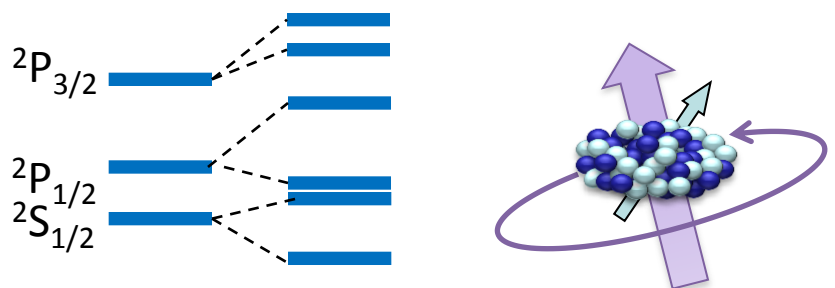


Structure Fine et Hyperfine

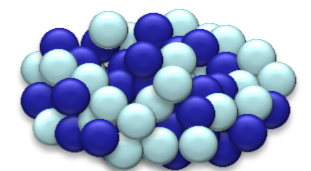
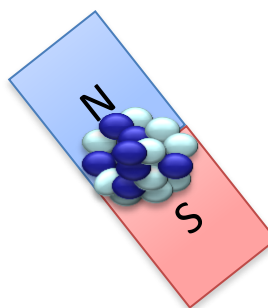
- Une résolution ~ 5000 plus élevée révèle une structure fine du spectre de l'Hydrogène due à l'interaction SPIN-ORBIT



- Un facteur 1000 plus en résolution fait apparaître une structure encore plus fine due au couplage du noyau avec l'orbite de l'électron



→ La structure hyperfine des spectres atomiques donne accès au spin et aux moments magnétiques et électriques du noyau



Le spin du noyau

PRL 110, 172503 (2013)

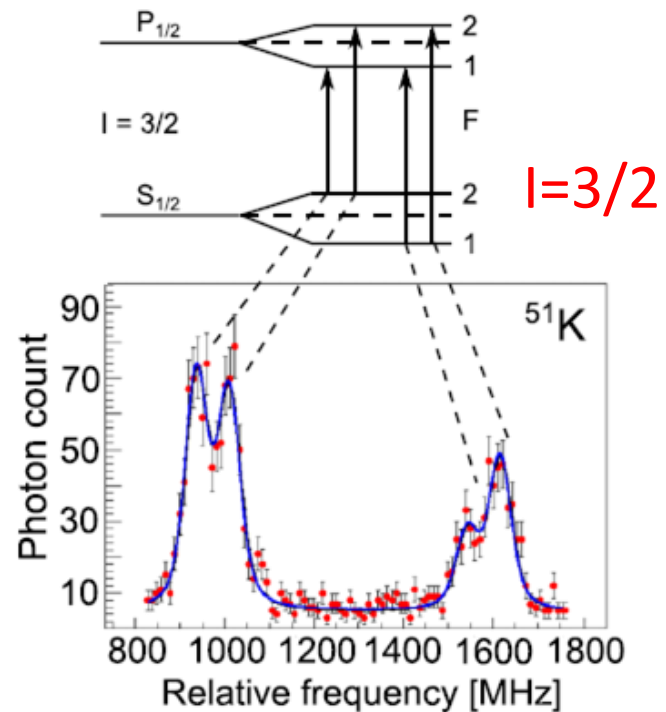
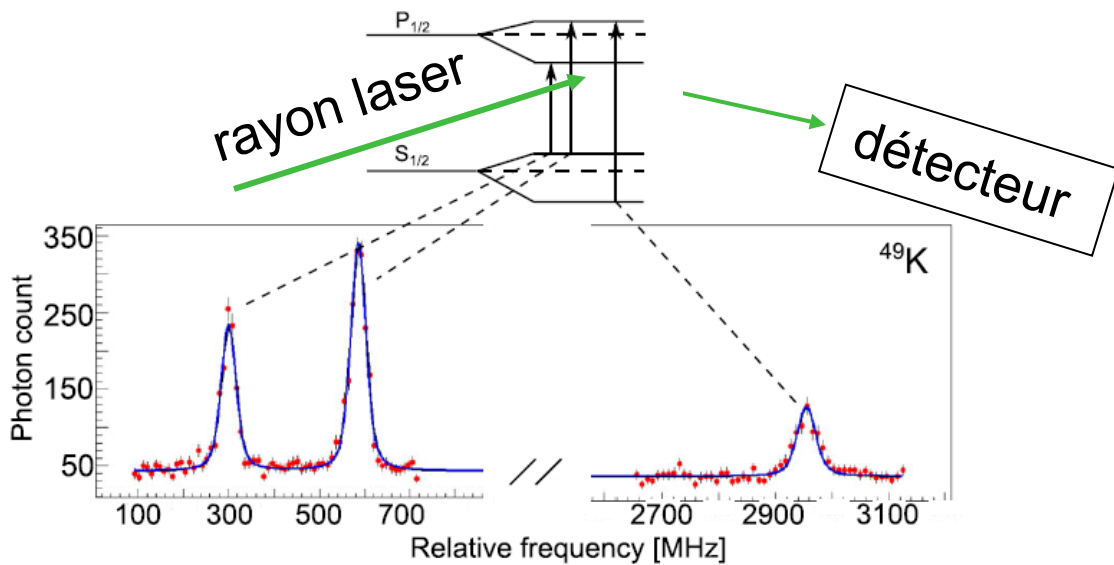
PHYSICAL REVIEW LETTERS

week ending
26 APRIL 2013

J. Papuga et al.,

Spins and Magnetic Moments of ^{49}K and ^{51}K : Establishing the $1/2^+$ and $3/2^+$ Level Ordering Beyond $N = 28$

$I=1/2$: seules 3 transitions sont autorisées
car la transition $F_i=0 \otimes F_j=0$ est interdite



La déformation du noyau

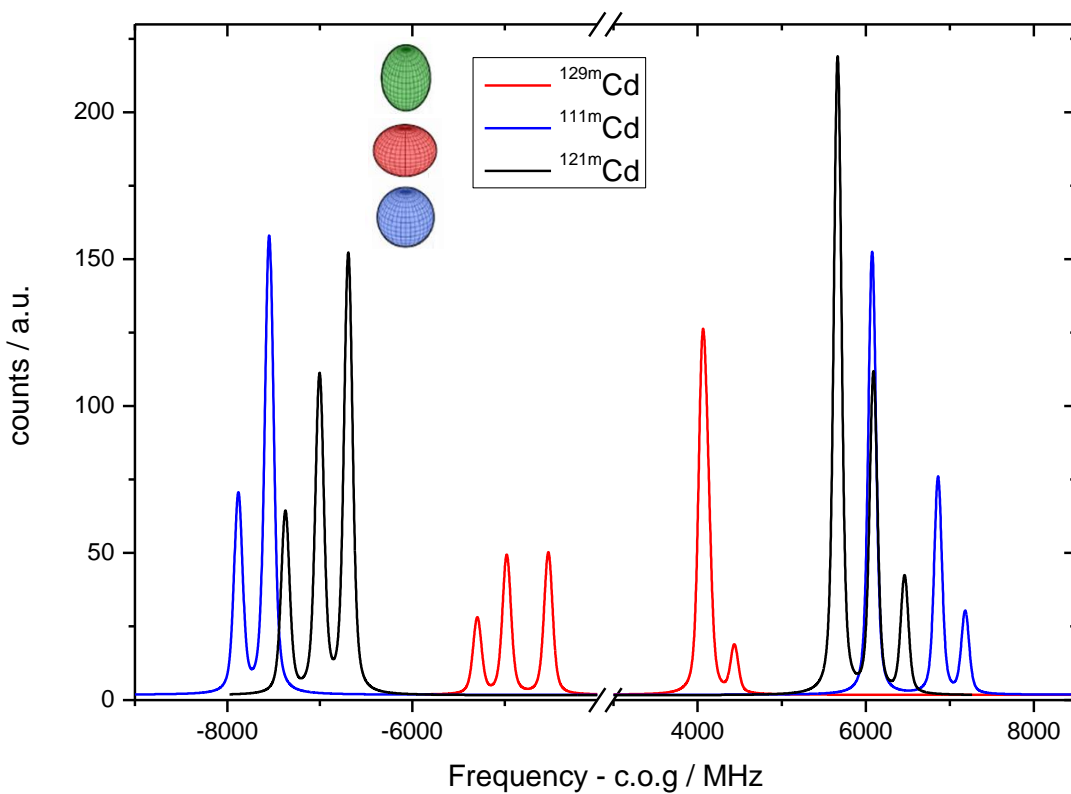
PRL 110, 192501 (2013)

Selected for a [Viewpoint](#) in Physics
PHYSICAL REVIEW LETTERS

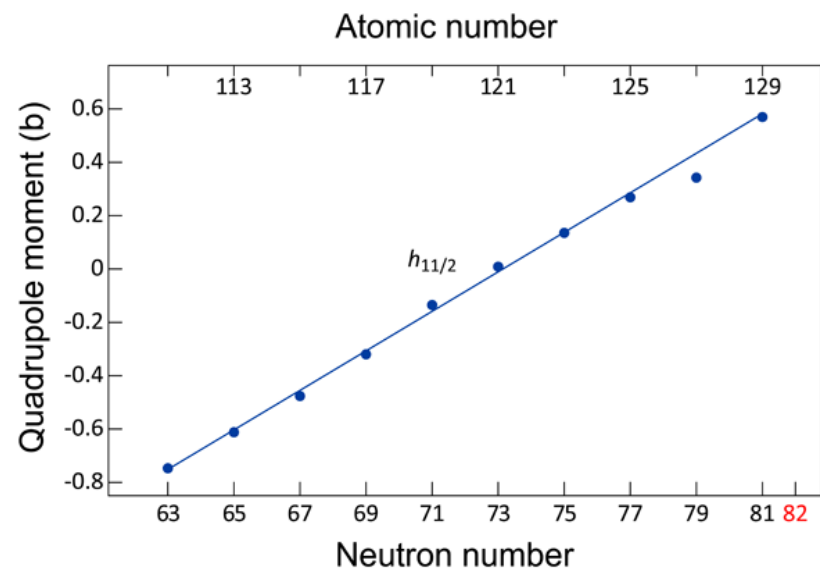
week ending
10 MAY 2013

D. T. Yordanov et al.,

Spins, Electromagnetic Moments, and Isomers of $^{107-129}\text{Cd}$

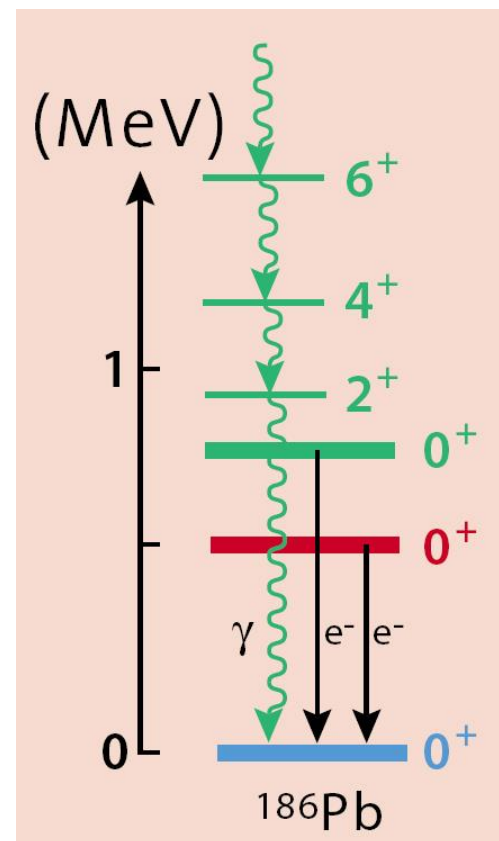
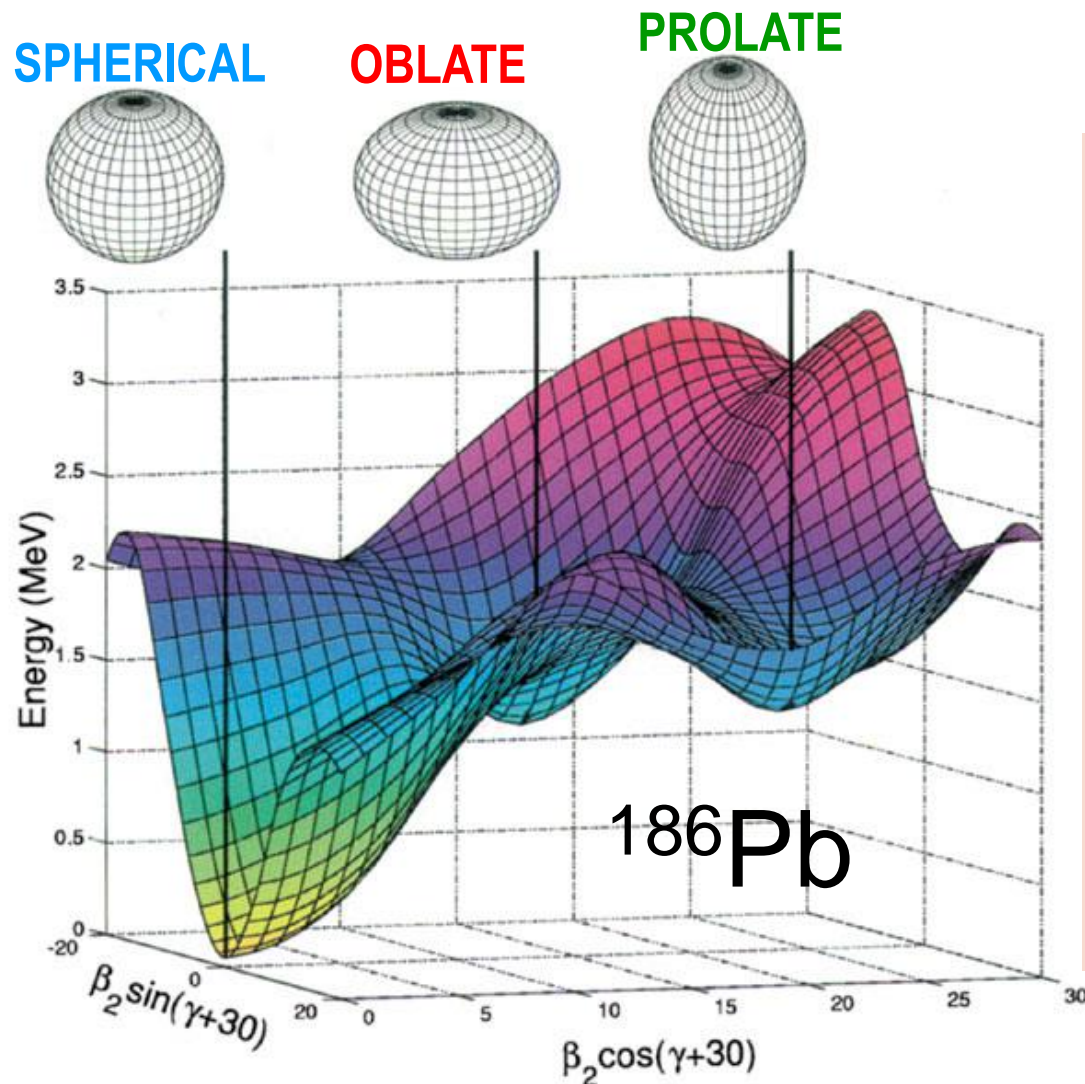


état isomérique $11/2^-$

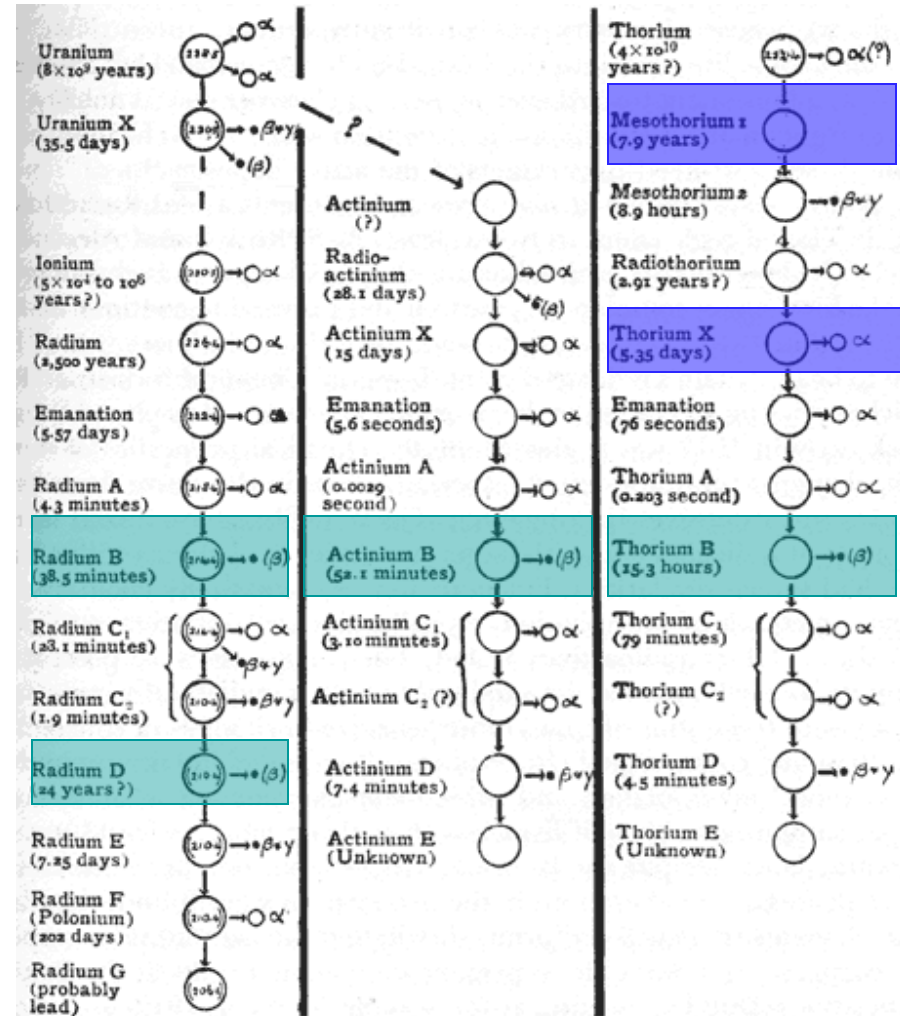


Formes coexistantes

3 états 0^+ de basse énergie observés dans la décroissance α du ^{190}Po



L'atome de Dalton mis à mal



'The Chemistry of Radio-Elements', F. Soddy (1911)

Plus de 40 radioéléments découverts en 15 ans

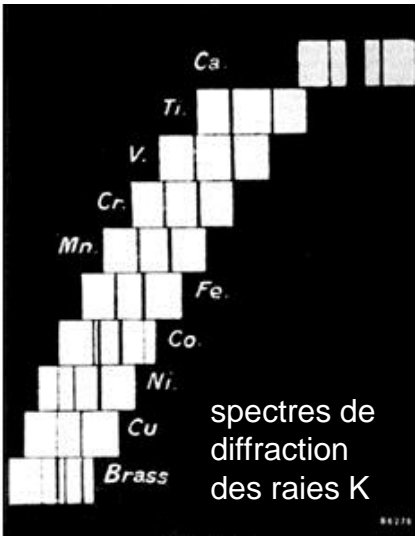
Problème: seules 7 cases inoccupées dans le tableau périodique entre Bi et U !

Inséparabilité de certains radioéléments

1913 Frederick Soddy

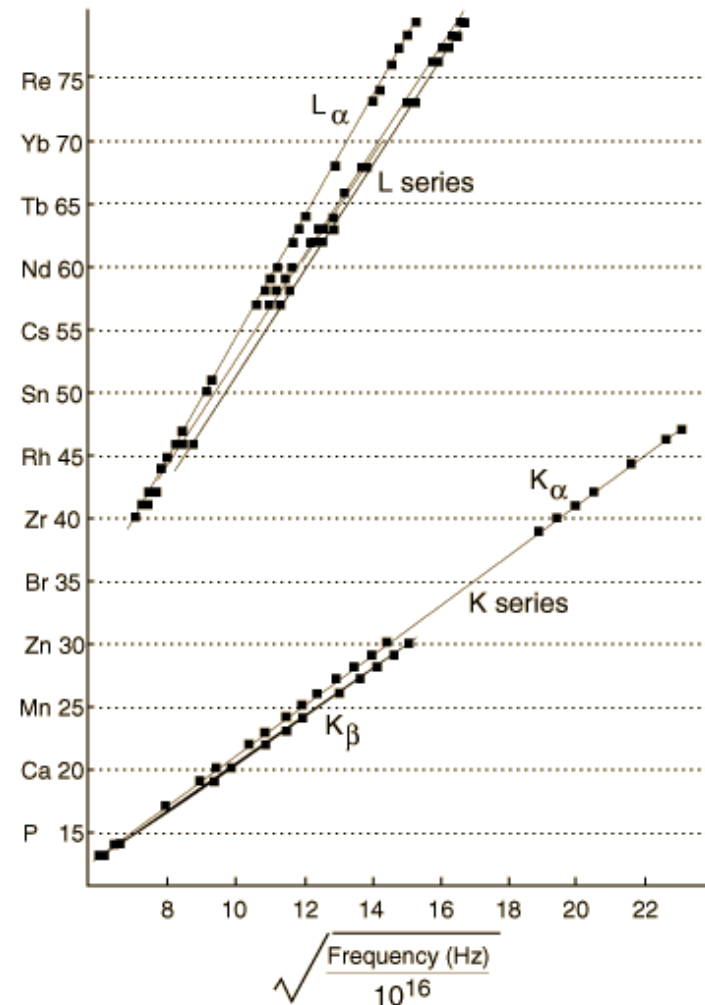
Concept d'isotope: éléments radioactifs ayant différentes masses atomiques mais les mêmes propriétés chimiques

Le tableau périodique trouve enfin son fil conducteur



1914 Henry Moseley

Mesure de la fréquence du rayonnement X de nombreux éléments

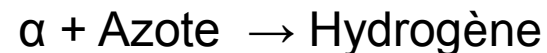


Adapted from Moseley's original data (H. G. J. Moseley,
Philos. Mag. (6) 27:703, 1914)

Les alchimistes du 20ème siècle

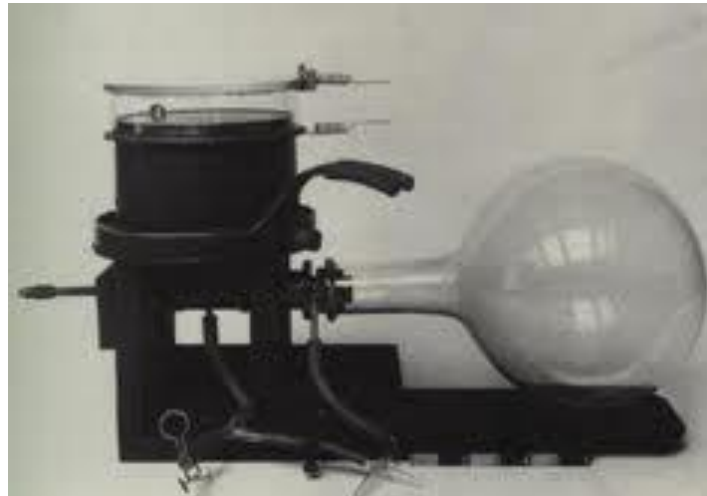
1919 E. Rutherford

1ère transmutation en laboratoire

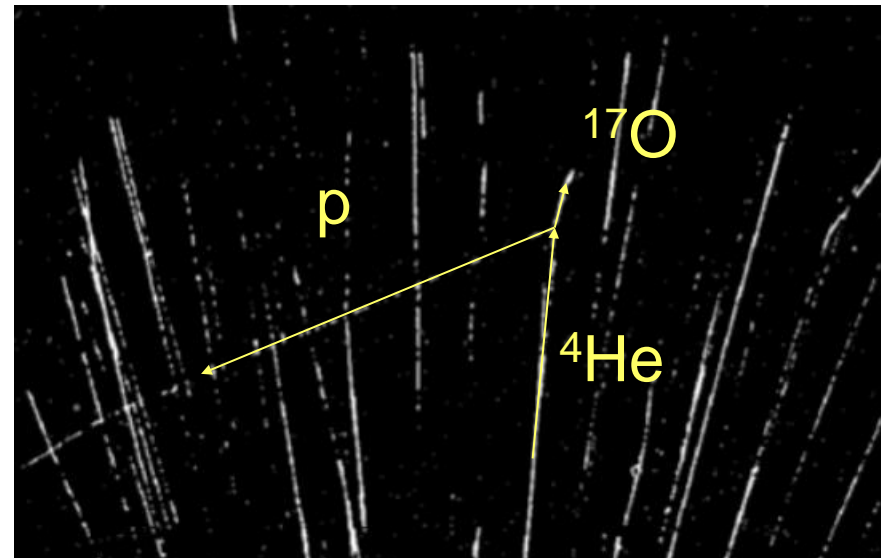


Rutherford appelle H^+ proton

1924 P. Blackett visualise la transmutation



chambre à brouillard (C.T.R. Wilson, 1912)

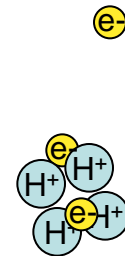


Structure du noyau

On pense alors que le noyau est composé de A protons et (A-Z) électrons

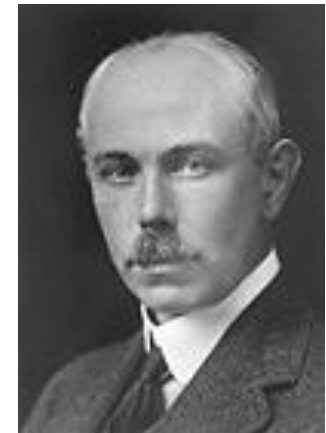
E. Rutherford suggère l'existence
d'une paire e^- -p qui aurait toutes les
caractéristiques d'une particule neutre

Bakerian Lecture, Proc. Roy. Soc. A, 97, 374 (1920)



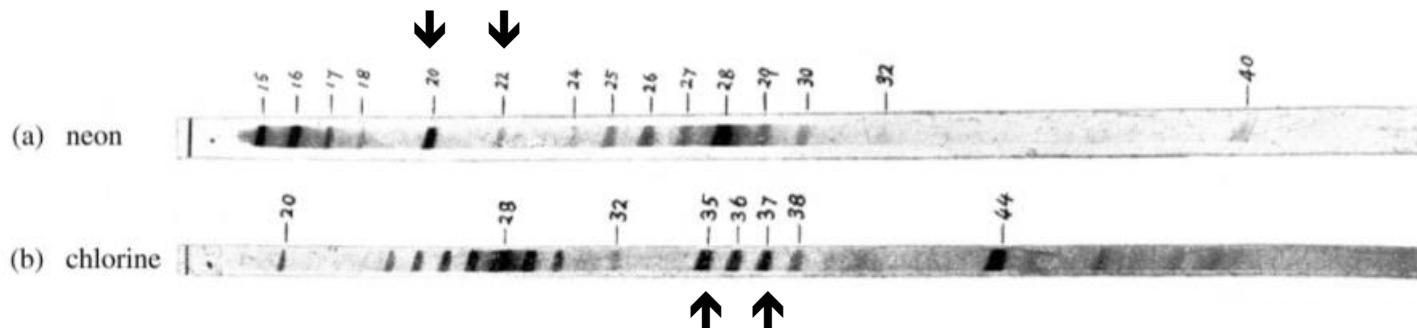
Cette information passe inaperçue du reste du monde, sauf à Cambridge
au Cavendish Laboratory où E. Rutherford est nommé directeur...

Les débuts de la spectrométrie de masse



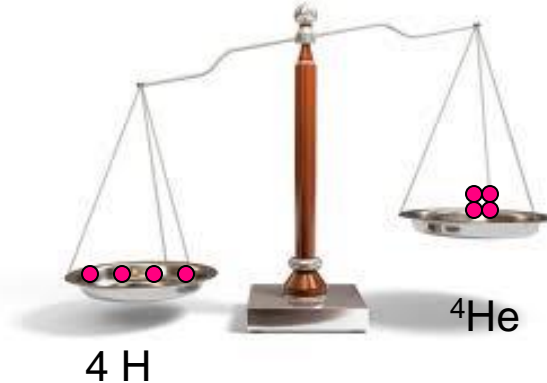
Francis Aston

1919: Avec le premier spectromètre de masse, F. Aston apporte la preuve expérimentale du concept d'isotope



Il mesure des abondances isotopiques et observe que les masses relatives des isotopes ($M(^{16}\text{O})=16$) sont des nombres entiers à l'exception de l'hydrogène (1.008)

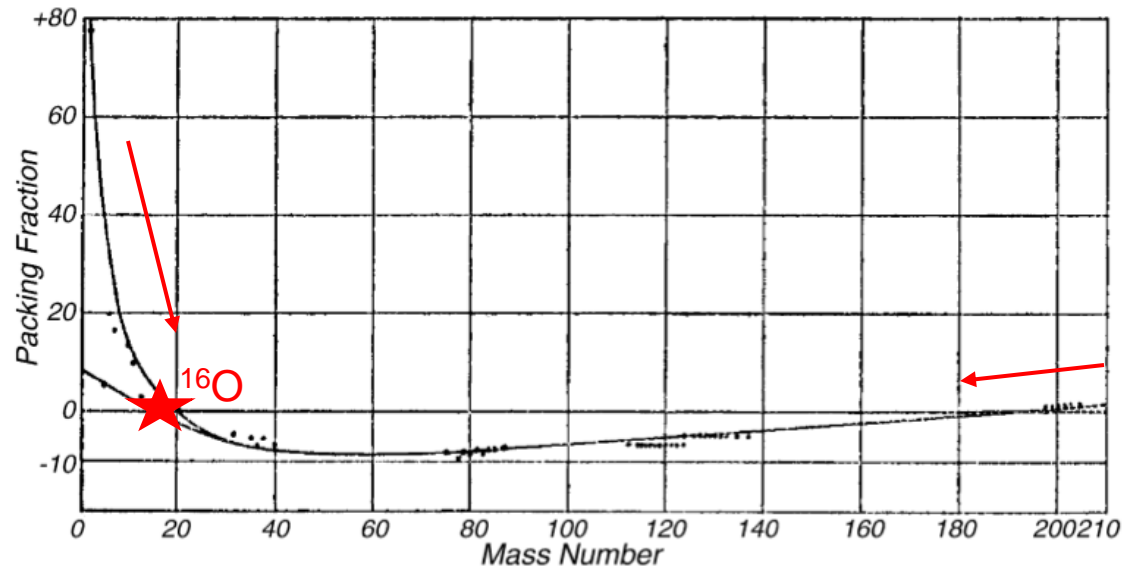
Excès de masse



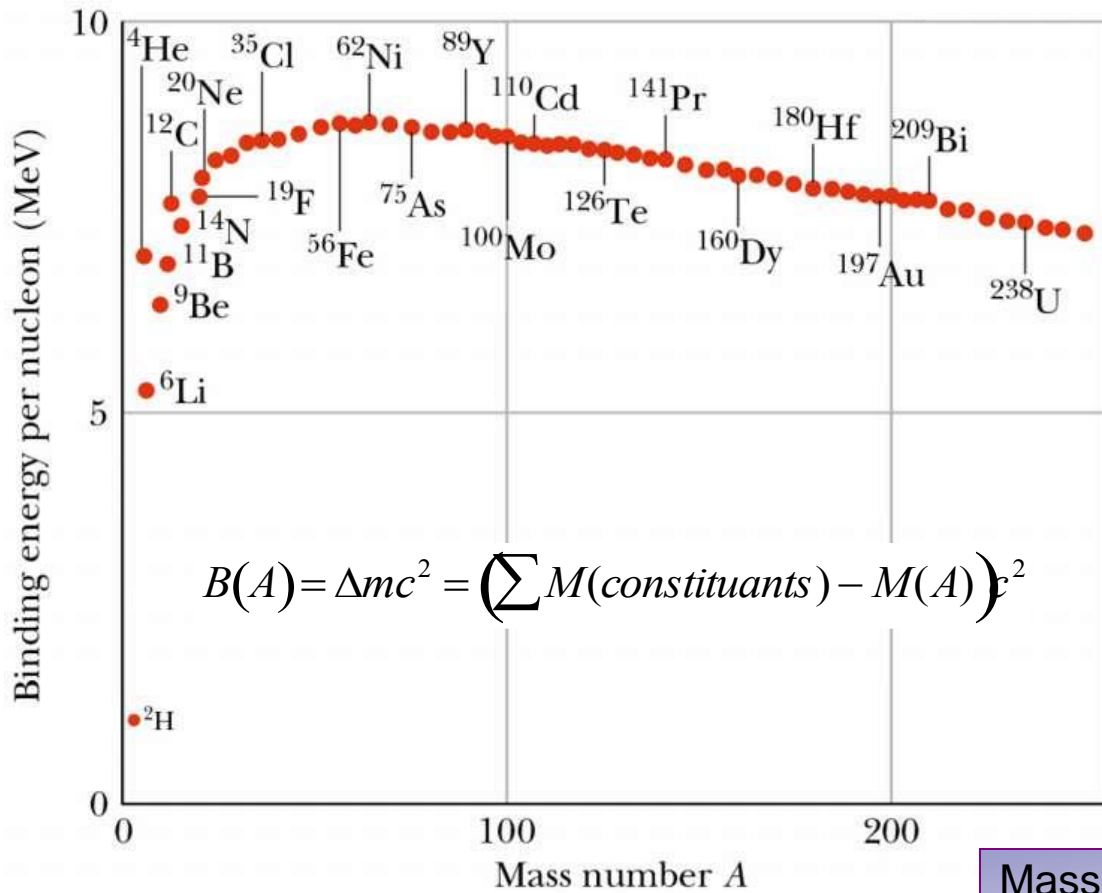
F. Aston propose que la masse est perdue pour former les noyaux

1927: Avec un spectromètre amélioré, il découvre que les masses relatives des ions plus lourds ne sont pas tout à fait des nombres entiers

$$\text{'packing fraction'} = 10\,000 (M - A)/A$$



Energie de liaison



Cas de la particule alpha:

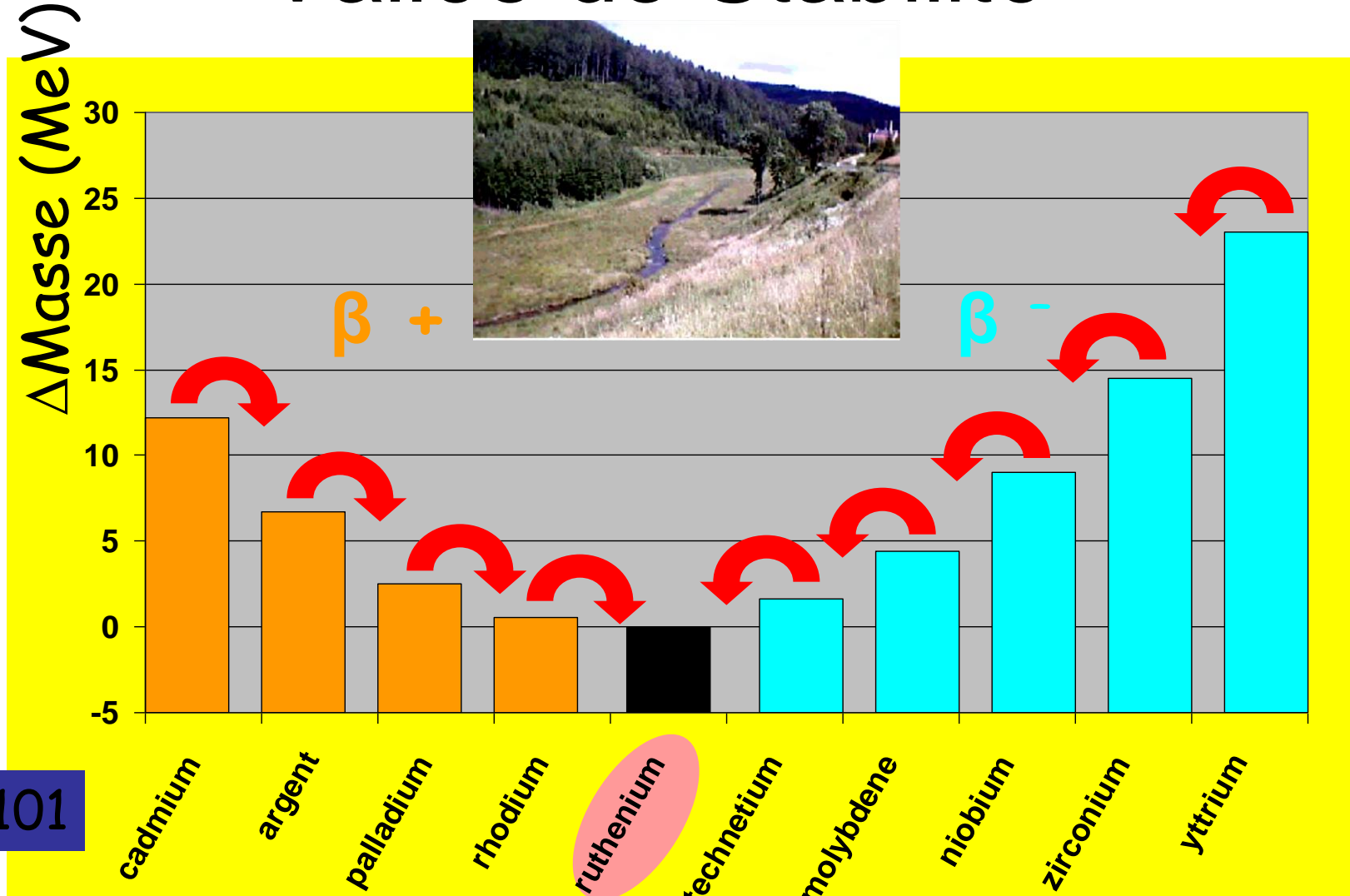
$$2 \text{ protons} + 2 \text{ neutrons} = 2 \times 1.00728 \text{ u} + 2 \times 1.00866 \text{ u} = 4.03188 \text{ u}$$

$$\text{Masse de la particule alpha} = 4.00153 \text{ u}$$

Masse: Atomic Mass Unit $\text{u} = 1/12 \text{ M}({}^{12}\text{C})$
 $1 \text{ u} = 1.66054 \times 10^{-27} \text{ kg} = 931.494 \text{ MeV}/c^2$

⇒ Energie de liaison = $0.0304 \text{ u} = 28.3 \text{ MeV}$

Vallée de Stabilité



$A=101$

protons 48

44

39

neutrons 53

57

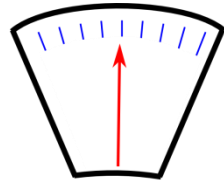
62

Des mesures de masse toujours plus précises....

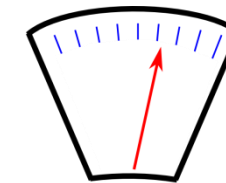
Précision ~ $1/10^{10}$



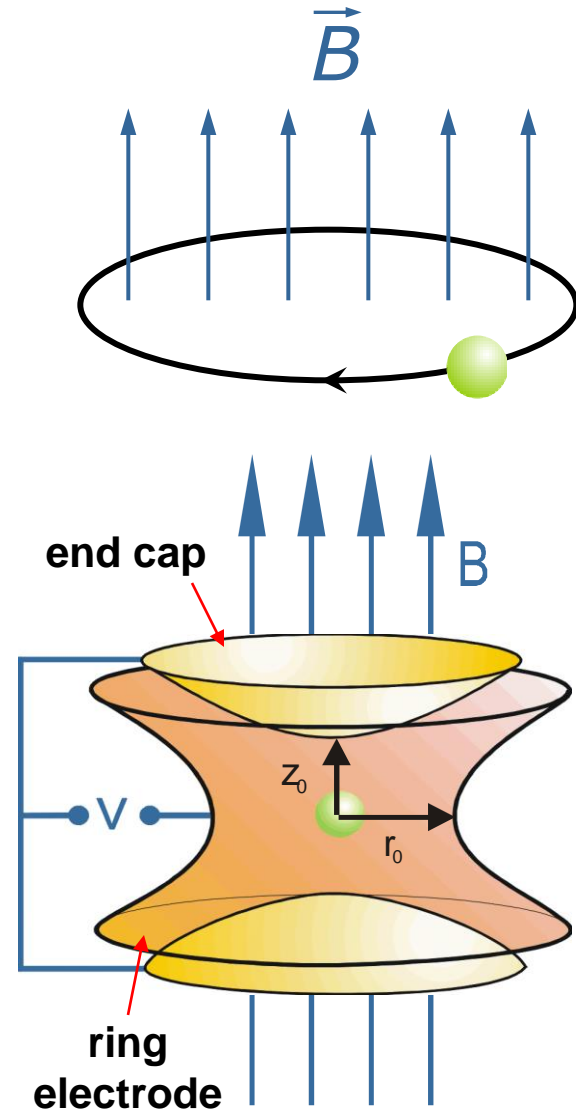
Airbus A380-800F:
252.2 tonnes (à vide)



Airbus A380-800F +
1 mini-carambar (4 g)



Mesure de masses par piègeage

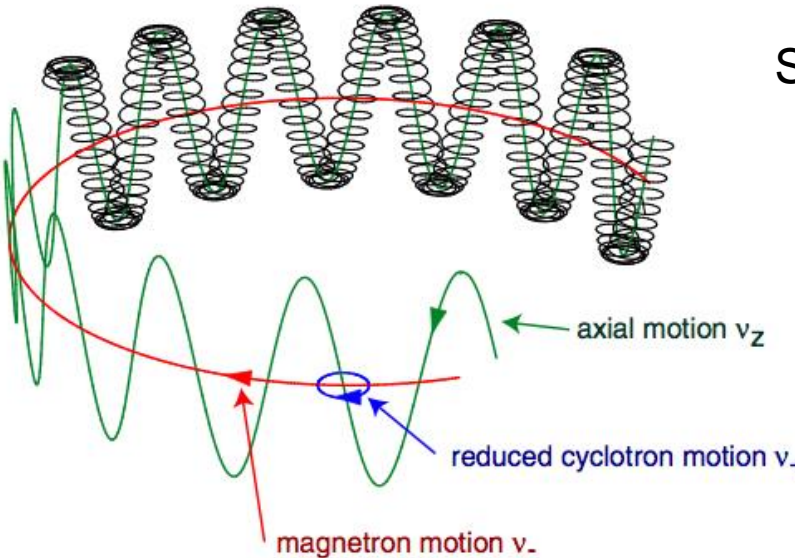


JYFLTRAP facility in Jyväskylä

piège de PENNING

- Intense champ magnétique homogène
- Faible champ électrique 3D quadripolaire

Mouvements dans le piège



Superposition de 3 mouvements :

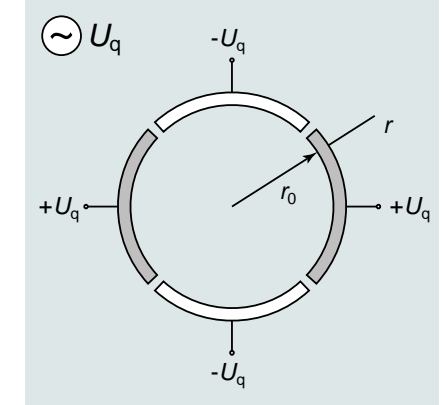
- 1 oscillation axiale (fréquence f_z)
- 2 oscillations radiales:
 - » mouvement magnetron (fréquence f_-)
 - » mouvement cyclotron modifié (fréquence f_+)

Les fréquences des oscillations radiales obéissent la relation:

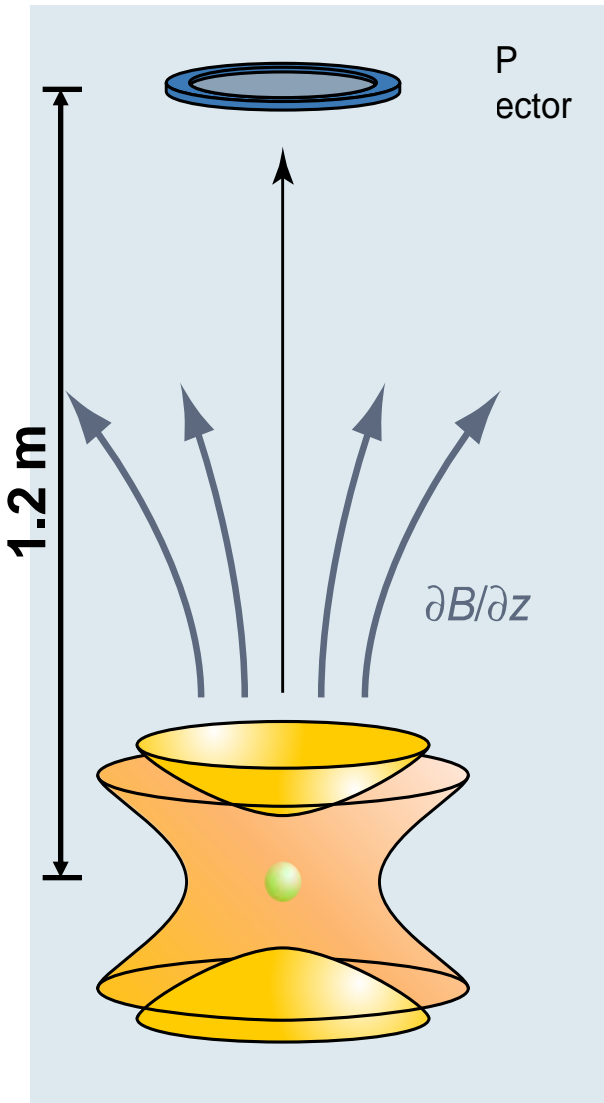
$$f_+ + f_- = f_c$$

Fréquence cyclotron : $f_c = \frac{1}{2\pi} \cdot \frac{q}{m} \cdot B$

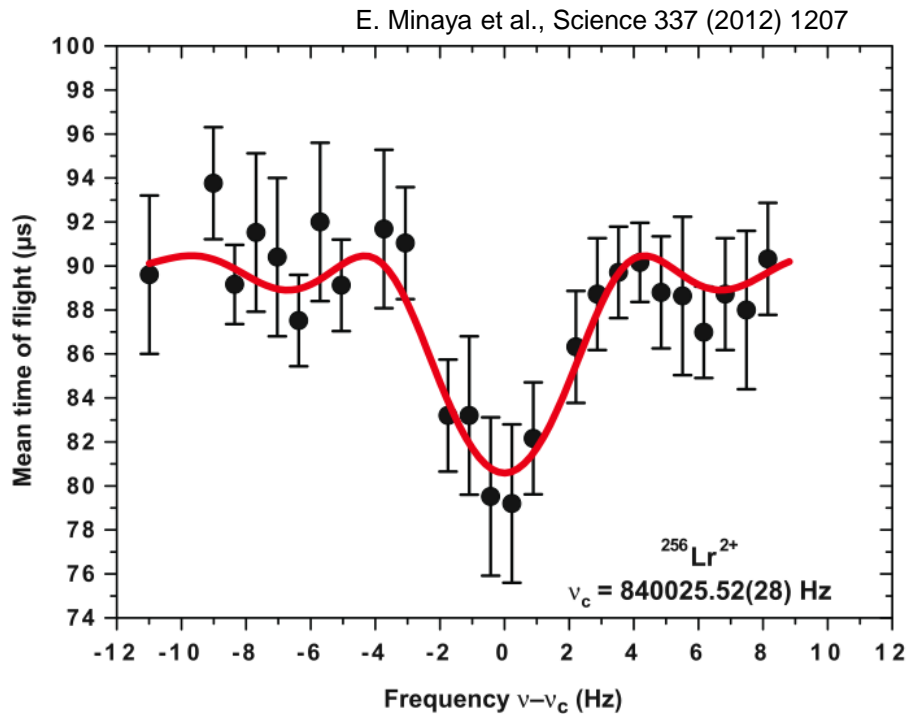
Une excitation quadripolaire des ions couple les oscillations magnétron et cyclotron modifiée



Record à battre: masse du Lr (Z=103)



Ejection le long des lignes de champ magnétique
⇒ l'énergie radiale est convertie en énergie axiale
⇒ temps de vol au détecteur minimal à f_c



$$\nu_c(^{133}\text{Cs}^+)/\nu_c(^{255}\text{Lr}^{2+}) = 0.95969174(6)$$

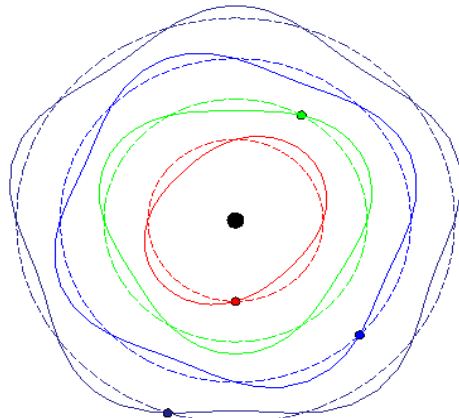
Excès de masse(^{255}Lr) = $m\text{-Au} = 89958(13) \text{ keV}/c^2$

Mécanique Quantique et Fonction d'Onde

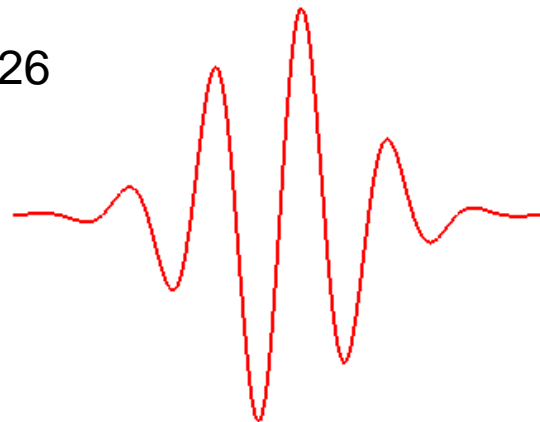
1924



L. de Broglie



1926

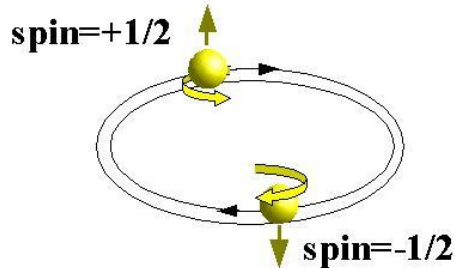


E. Schrödinger

1924-1925



W. Pauli



M. Born



W. Heisenberg

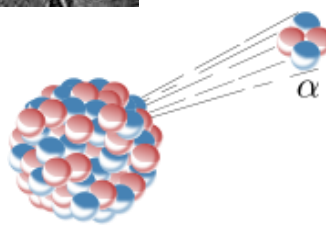
La radioactivité α expliquée



1928:

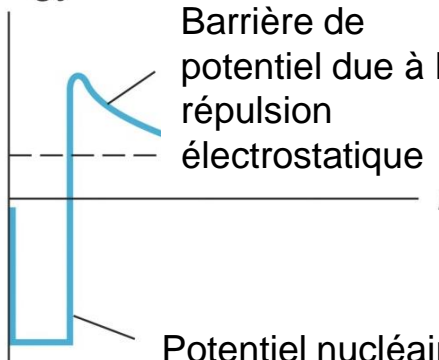
G. Gamow propose un modèle de la radioactivité α basé sur la Mécanique Quantique

Z. Physik 51, 204 (1928)



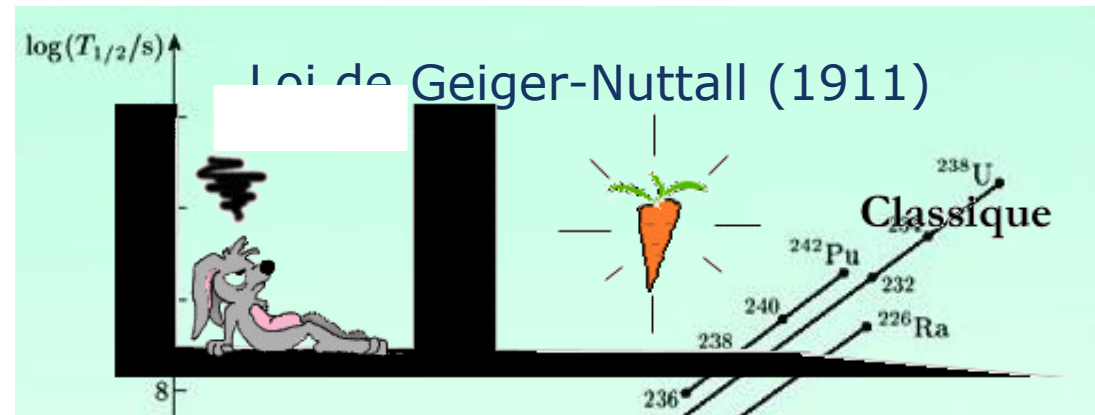
^{212}Po
 $E_\alpha = 8.78 \text{ MeV}$
 $E_B \sim 25 \text{ MeV}$

Energy



Barrière de potentiel due à la répulsion électrostatique

Potentiel nucléaire dans lequel la particule alpha est confinée



L'Antimatière

Relativité Restreinte

Mécanique Quantique

électron relativiste



1929 : Equation de Dirac

L'équation de Dirac a 2 solutions !

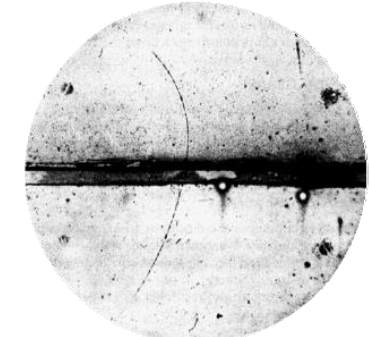
{ l'électron
????

1930: P. Dirac invente l'anti-électron

e^-
électron

e^+
anti-électron

1932 : C. Anderson découvre l'anti-électron et l'appelle positron

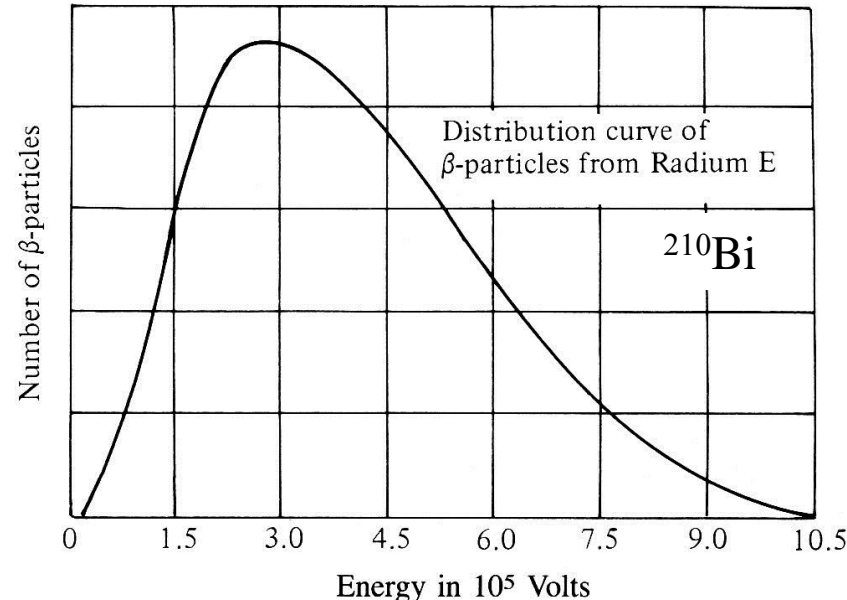


Radioactivité β et l'hypothèse du neutrino

1914 J. Chadwick met en évidence le spectre continu du rayonnement beta (très différent du spectre du rayonnement alpha et gamma)



la loi de la conservation
d'énergie est-elle violée ?



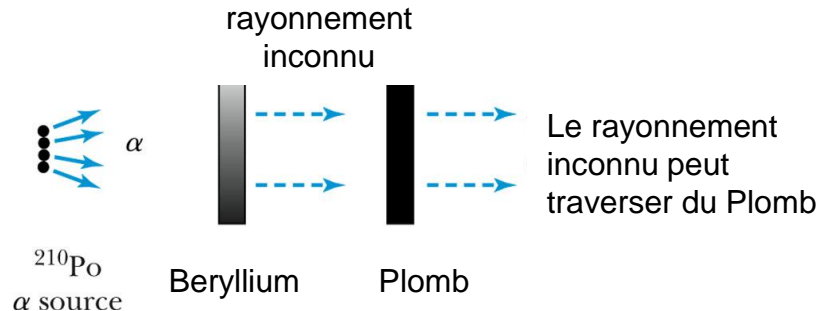
Chadwick à Rutherford: “Je ne trouve pas l'ombre d'une raie. Il y probablement une erreur stupide quelque part...!”

1930: W. Pauli suggère l'existence d'une nouvelle particule neutre de masse ~ 0 qu'il appelle ‘neutronen’ et qui partagerait l'énergie de désintégration β avec l' e^-

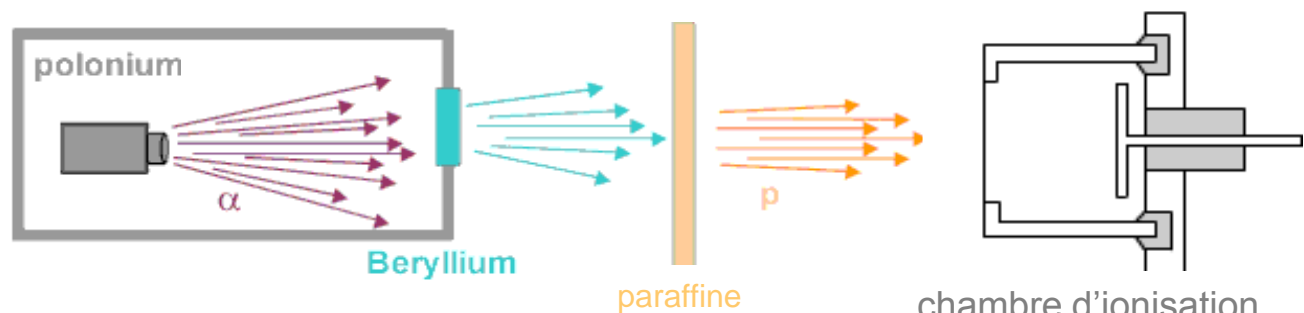
Découverte du neutron

1930-32

W. Bothe & H. Becker
découvrent une étrange
réaction



James
Chadwick



J. Chadwick démontre que le rayonnement correspond à une
particule de masse ~1: le neutron

Conséquences de la découverte du neutron

1932: D. Ivanenko, W. Heisenberg et E. Majorana : le noyau est composé de Z protons et N neutrons

Heisenberg introduit la notion d'**isospin**: le proton et le neutron sont 2 aspects de la même particule qui s'échangent de la charge

1935: Yukawa va plus loin que Heisenberg et invente une nouvelle particule que les nucléons s'échangent:
le méson

Quelle masse pour le méson ?

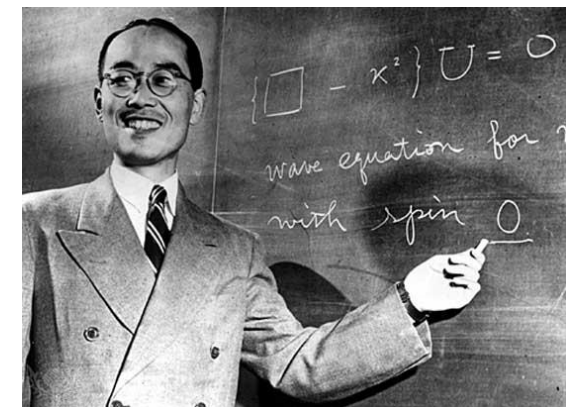
principe d'incertitude: $\Delta E \Delta t \geq \hbar/2$

Du fait de sa masse, le méson ne peut pas exister plus longtemps que

$$\Delta t \sim \hbar/2 \Delta E = \hbar/2mc^2$$

Le méson doit parcourir la distance entre un proton et un neutron (~ 1 fm) en Δt

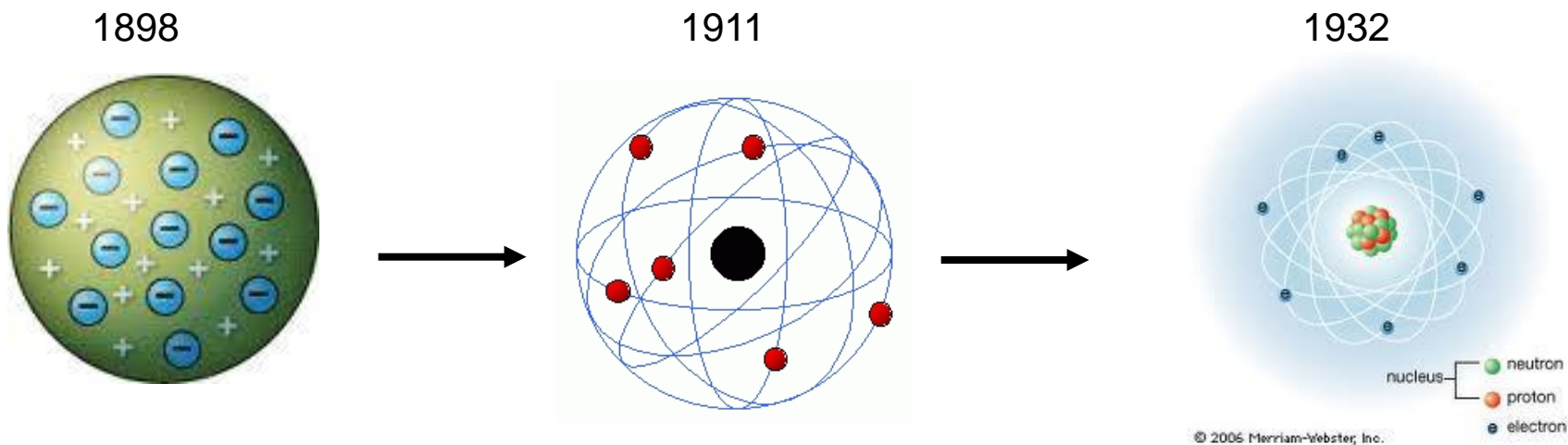
$$1\text{ fm} \sim c\Delta t = \hbar c/2mc^2 \Rightarrow mc^2 \sim 100 \text{ MeV}$$



Hideki Yukawa

On découvre le méson en 1947 avec une masse de ~ 140 MeV

Le noyau au complet

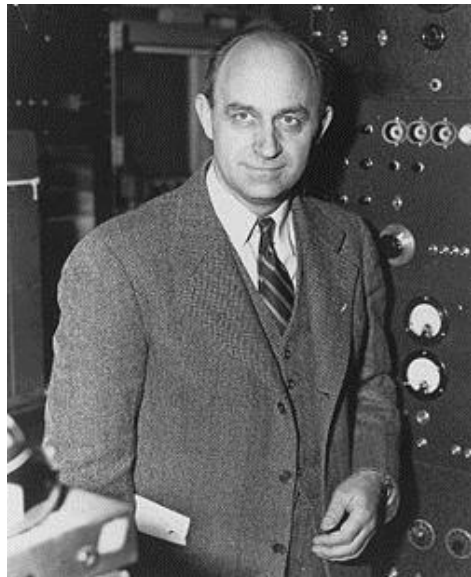


$$^{A_Z}_{Z_N} X$$

La présence des neutrons dans le noyau explique l'isotopie et résout certains problèmes de spin, moment magnétique et confinement des e^-

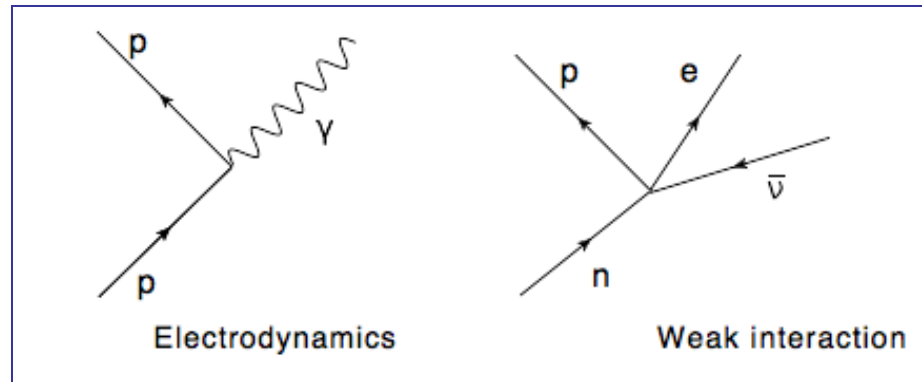
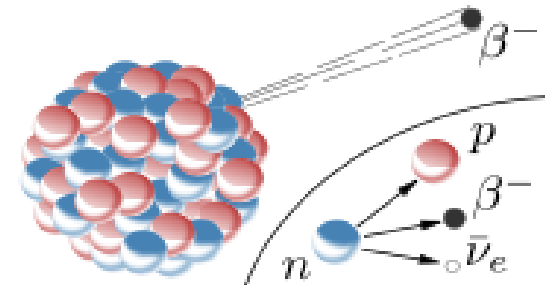
Origine des e^- de la radioactivité β ?

1934: E. Fermi propose l'existence d'une nouvelle force, la force faible, et énonce sa théorie de la décroissance β



Enrico Fermi

$$n \rightarrow p + e^- + \nu_e$$



Analogie de Fermi

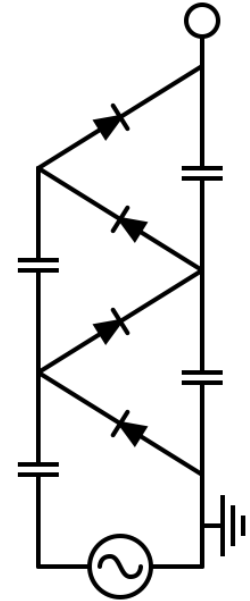
Il soumet ces travaux à la revue Nature - mais le papier sera rejeté sous prétexte qu'il contient "des spéculations trop éloignées de la réalité"

Des accélérateurs pour sonder le noyau



Ernest Walton, Ernest Rutherford, John Cockcroft

J. Cockcroft se lance avec E. Walton dans la construction d'une machine capable de produire une tension de 800 kV



multiplicateur de tension de Cockcroft-Walton

Nature 129, Février 1932, 242

Cockcroft et Walton cassent l'atome

1932: En bombardant du Li avec des protons d'énergie **250 keV**, Cockcroft et Walton observent la réaction:

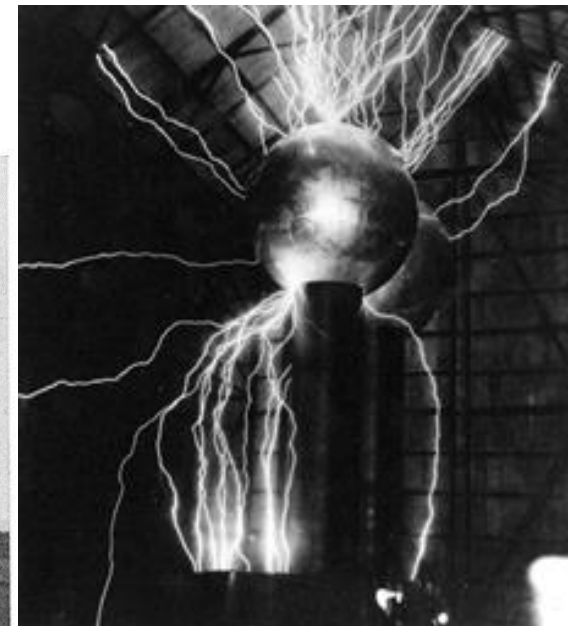
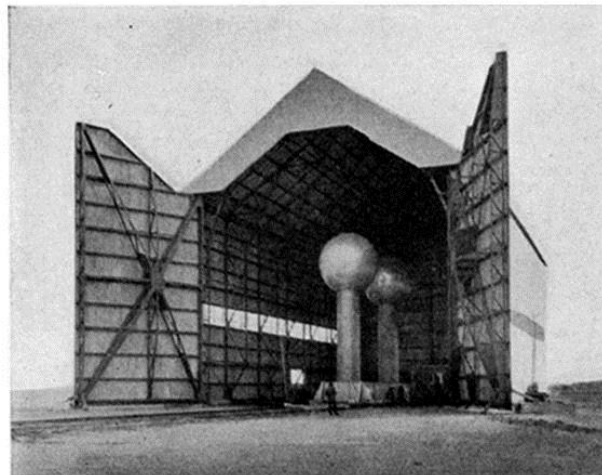
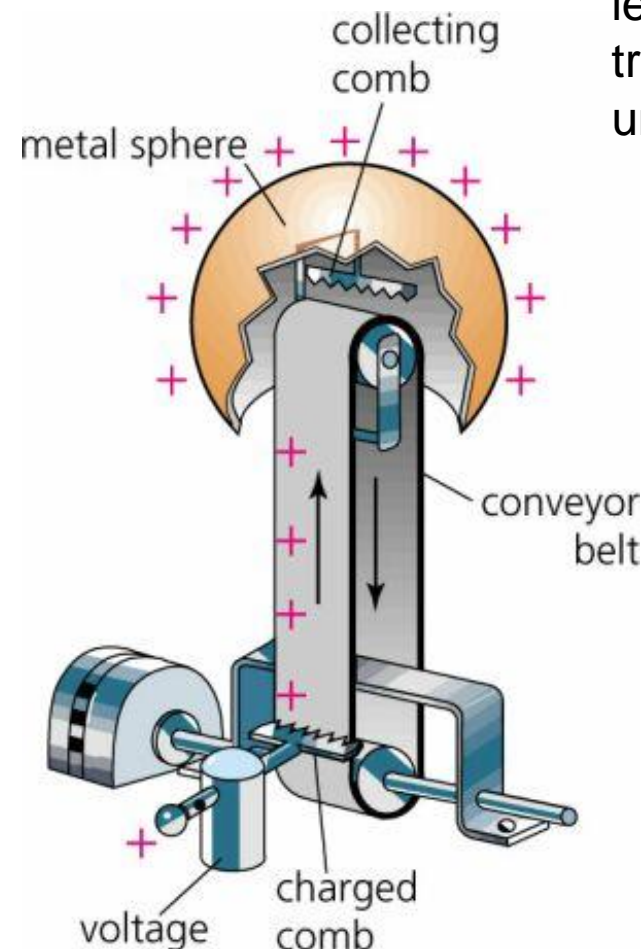


L'énergie des 2 particules alpha est mesurée: **~17 000 keV**

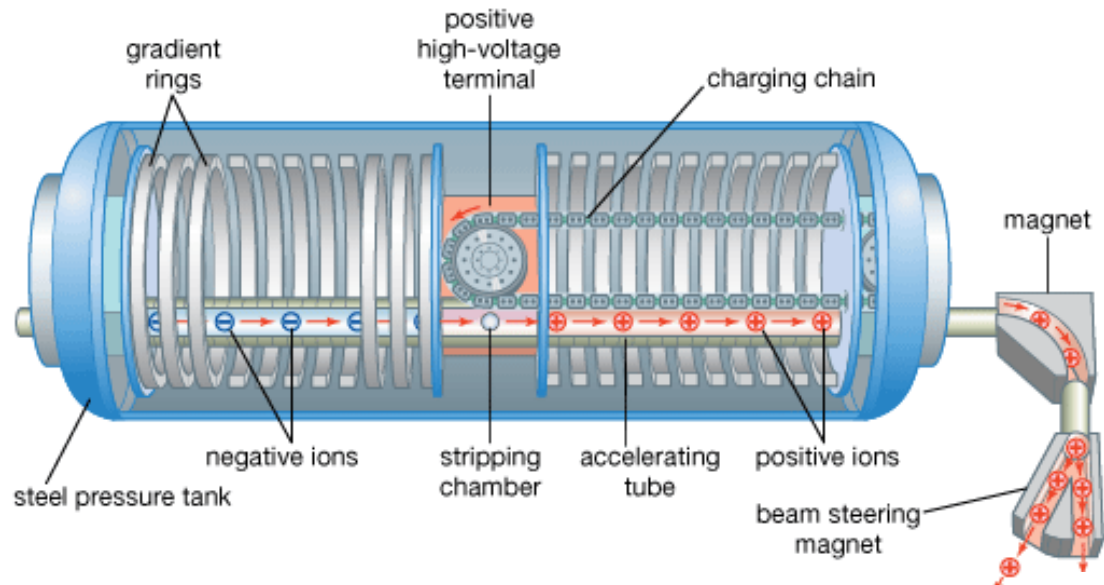
Première confirmation expérimentale de $E = mc^2$: l'énergie est préservée si **mc^2** est considéré comme une forme d'énergie

Générateur de Van de Graaff

1929: **R. Van de Graaff** invente un autre type d'accélérateur dans lequel les charges sont mécaniquement transportées à un terminal pour créer une différence de potentiel



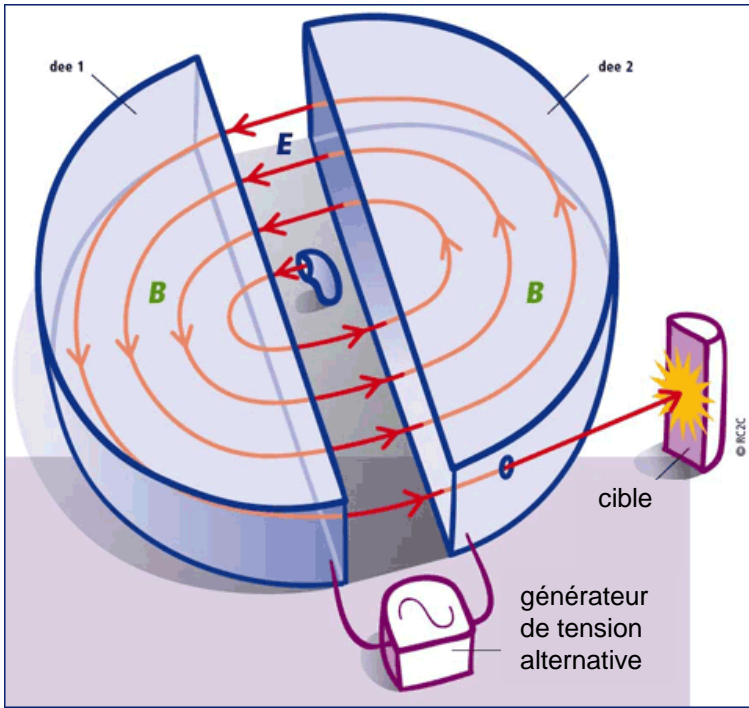
Tandem de l'IPN-Orsay



© 2008 Encyclopædia Britannica, Inc.



L'invention du cyclotron



1931: E. Lawrence s'affranchit des problèmes liés à l'utilisation de hautes tensions en utilisant une plus petite tension accélératrice plusieurs fois (R. Wideroe, 1928)



1er cyclotron en 1931,
 $V=1.8\text{KV}$, $d\sim 12\text{ cm}$
accélération de protons
à 80 keV

2ème cyclotron en 1932, $V=1.8\text{KV}$, $d\sim 27\text{ cm}$
accélération de protons jusqu'à 1 MeV

1936: $d\sim 93\text{ cm}$, accélération de deutérons (8 MeV) et particules alpha (16 MeV)